Statyuahr N3BECTИЯ

АКАДЕМИИ НАУК АРМЯНСКОЙ ССР

Sthubyuuuu арыльфальшьгр исгри СЕРИЯ ТЕХНИЧЕСКИХ НАУК

theyur

ÉPEBAH

Журная мэлается с 1948 г. Выходит С раз в год на ресском языке

6 5 6 8 4 7 8 4 8 5 4 6 1 5 4 5 8

Կասյան Մ. Վ. (պատ. *իս ադրի)*, Ադոնց - Տ. (պատ. *իրադր ակակայի* Այներսենսկի Վ. Վ., Զադոյան Մ. Ա., Հակոբյան Ռ. Ա., Սարգսյան Ցու. Լ., Ստակյան Մ. Գ., Տեր-Ազարև Ի. Ա. - Փինաջյան Վ. Վ. (պատ. ակապրի տեղակայի Պատասիածատու բարաուցար Ստեսիանյան Զ. Կ.

РЕДАКЦИОННАЯ КОЛЛЕГИЯ

Касыян М. В. (ответ, редактор), Авона Г. Т. (зам ответ, редактора), Алексеевский В. В., Акопян Р. Е., Завони М. А., Пинаджени В. В. (зам. ответ, редакт ра), Саркиени Ю. Л., Стокии М. Г., Тер-Азарыев И. А. Ответственный оскретарь Степании З. К.

Н. Р. ДЖАВАХЯП

ИССЛЕДОВАНИЕ ВЛИЯНИЯ РАЗЛИЧНЫХ ФАКТОРОВ НА ДВИЖУЩИЕ СИЛЫ ПАНТОГРАФНОГО МАНИПУЛЯТОРА

За последнее десятилетие делаются интенсивные шаги по разработке и внедрению ручных манипуляторов (РМ)—новых универсальшых средств механизации погрузочно-разгрузочных и складских работ, еборочных операций и обслуживания металлорежущих станков. Основной характеристикой, определяющей качество РМ, является величина погребного усилия оператора для горизонтального перемещения манипулируемого объекта. Это усилие зависит от степени уравновешенности РМ и совершенства его узлов трения и не должно превышагь 50 Н [1].

В настоящей работе предложена методика определения усилия оператора, необходимого для преодоления трения в кинематических пара пантографных РМ, изучено влияние различных факторов на всинчину этого усилия и выполнено рациональное уравновешивание РМ но условию одновременной минимизации потребных движущих сил

Аля определения потребного усилия оператора рассмотрим предельное равновесное положение манинулятора. В этом положении для кажлого звена линия действия равнодействующей внешних сил и линии действия реакций в двух его шариирах с учетом сил трения, согласно теореме о трех силах, нересокаются в одной точке (рис. 1), а треугольних сил замкнут. Реакции в шариирах проходят по-касательным к кругам трения [2] разлуса

$$\phi_{\beta} = r_{\rho} \sin \varphi_{\beta} \approx r_{\rho} f_{\rho},$$

где φ_{o} , и r_{p} — угол, комфициент трения и раднус цапфы шаринров; $p=A,\ D,\ E,\ B,\ H,$

Положение точек касания реакции с соответствующими кругами трения определяется в зависимости от направления относительных угловых скоростей на возможных перемещениях звеньев так, чтобы моженты реакций относительно центров шарипров были сонаправлены с $\sigma_{i,j}$ (1, j=1,2,3,4). Направления $\sigma_{i,j}$ определяются направлением усилия T оператора, которое может быть представлено коэффициентом n=-1 ($n=\pm 1$ при $T^{**}OX$ и n=-1 при $T^{**}OX$). Решение задачи упрощается особенностью пантографных механизмов, а именно равенством абсолютных угловых скоростей параллельных звеньев, приводящим к равенству модулей относительных скоростей, и осуществляется при следующих допушениях:

—система сил, действующих на звенья пантографа, рассматривается как илоская, приложенная в срединной плоскости РМ, содержащей грузозахватный орган;

вес звена 4 незначительный и не учитывается.

Второе допущение при заданном направлении искомой силы T однозначно определяет направления реакций \overline{R}_{ij} и \overline{R}_{ij} и сильно упрощает решение задачи силового анализа с учетом трения.

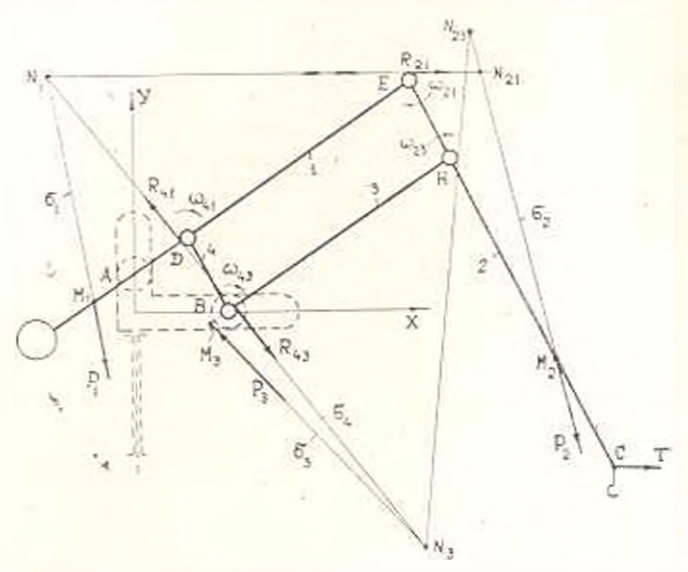


Рис. 1. Схема нагружения звеньев пантографной стрелы манипуантора с учетом трення в его кинематических парах.

Величну потребного условия T инератора определям погледовательным рассмотрением равновесия звеньев 4, 1, 2 и 4, 3, 2 с использованием теоремы о трех силах. С этой целью сначала или звеньев t=1,2,3 находим модули P, ливин действия z_t равнодействующих P и точки пересечения M_t последних с продольными осями соответствующих звеньев (рис. 1). По известной линии действия z_t реакций R в R_{43} определяем точки N_t и N_t ее пересечения с линиями действия равнодействующих P_t и P_t . Затем из точек N_t и N_t с учетом направлений и ω_{23} проводим касательные к кругам трения шарниров E и H соответственно, которые пересекутся с линией действия равнодействующей P_x и точках N_{21} и N_{21} . Задача сводится к определенню значения усилия оператора, при котором точки N_{21} и N_{22} совтадут ($Y_{21}=Y_{21}$ Потребное значение усилия T оператора, при котором в предельном равновесном положении преодолевая тся все силы трения покоя, определяем решением велинейного уравнения

$$\Delta = Y_{21} - Y_{23} = \Delta(T) = 0. (1)$$

Итерационный процесс нахождения искомого значения T осуществляем от начального значения $T_0 > 0$, для которого определяем функцию (1). Если значение Δ превышает заданную точность вычисления

е, продолжаем поиск решения до достажения заданной точности. Для проведения расчетов была составлена программа на ялыке ФОРТРАН- IV, инвымяющая раздельно песледовать ялия инстразличных парамет пулятора на величину потребного училия оператора. Исследования проведены на примере манипулятора MMP ин следующими нараметрами (ряс. 2): вес полвяжных частей $G_* = 4000~H_*$ —грузоподъемность $G = 1000~H_*$ —геометрические параметры: DB = 210~mm, q = AE~EC - AD~DB = 1; коэффициент подобия пантографа k = AE~AD = 7; коэффициент трения в кинематических парах f = 0, 1: $X_0 = 84~mm$, $X_1 = 252~mm$, $Y_0 = 84~mm$, $Y_1 = 252~mm$.

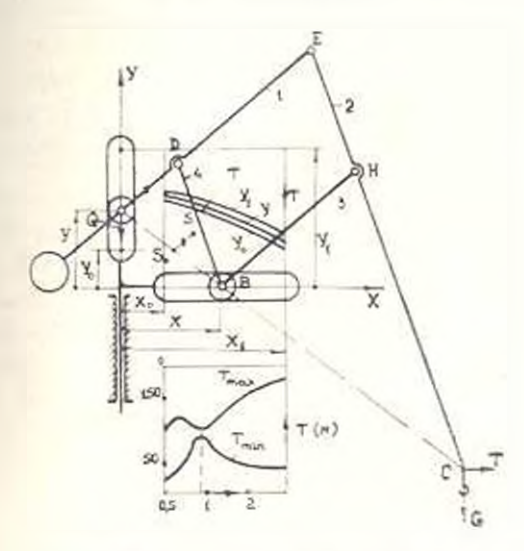


Рис. 2. Расчетная схем і манняультора с графиками изменения усилия оператора.

Результаты расчетов показали, что усилие оператора при работе манипулятора в испагруженном рожиме не превышает допустамого значения $T_{\max} = 50~H$, поэтому было исследавано влияние на величину потребного усилия оператора при работе манипулятора в нагружениом режиме следующих факторов: k, n, N, Y, q, f, b, a.

Параметры $b = BS_0 BA$ и $a = S_0 S$ (рис. 2) определяют положение центра масс S пантографион стрелы PM [3].

Расчеты показали, что величина усилия оператора в заланиой точке зоны обслуживания практически же зависит от коэффициента подобня к пантографа и направления горизовтального перемещения манипулируемого груза, определяемого параметром и.

На рис. 2 представлены графики зависимостей $T(X, Y_k)$, $T_{\min}(q)$ и $T_{\min}(q)$, откуда следует, что усилие T переменно по экие обслуживания, спределяемой обобщенными координатами X и Опо увеличивается с уменьшением X и с увеличением Y_i г. е. с приближением к граничной точке зоны обслуживания $(X = X_m, Y = -1)$ На границы изменения усилия $T \in [T_m]$ существенно влияет гео-

метрический параметр манипулятора q. Значение q=0.8 для рассматриваемого манипулятора является оптимальным, ибо выравнивает по всей воне обслуживания величныу усилия оператора.

Далее было изучено влияние на T величины коэффициента трения f в трех очагах трения: между роликом и пазом горизонтального перемещения ($f_B = f$), роликом и пазом вертикального перемещения ($f_A = f$) и трение во вращательных парах ($f_A = f$).

На рис. З представлены графики зависимости усилия оператора от коэффициентов трения / в каждом из трех очагов трения при фиксированных значениях / коэффициентов трения в двух тругих очагах, из которых нидно, что силы трения, возникающие в поступательной паре вергикального перемещения и во вращательных парах (кривые 2, 3) практически не оказывают илияния на усилие 7, в то премя, как последнее существенно зависит от силы трения между роликом и пазом горизонтального перемещения (кривая 1).

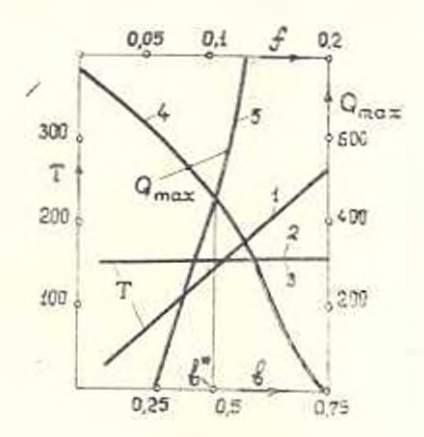


Рис. 3. Графики изменения движущих сил дая горизонтального и вертикального перемещений машипулируемого объекта.

Изучение влияния параметров и b на величину T показало, что T практически не зависит от коэффициента b и увеличивается с ростом a. Поэтому оптимальным следует счатать значение a=0, при котором центр масс стреды находится в точке b на шариприон прямой aBC и при горизонтальном перемещении точки b подвеса манипулируемого объекта перемещается по горизонтальной прямой b b b . При этом значение b может быть найдено из условия минимизации усилия b вертикального перемещения, развиваемого силовым цилиндром подъема манипулируемого объекта. На рис. b представлены графики b при работе манипулятора и нагруженном (кривая b) и ненагруженном (кривая b) режимах с учетом трения в кинематических парах. Значение при котором кривые b и b представленое с точки эрения минимизации движущих сил b и b отнимальное с точки эрения минимизации движущих сил b и b отнимальное с точки эрения минимизации движущих сил b и b отного следует, что полное уражновешивание пантографной грелы b и b отого следует, что полное уражновешивание пантографной грелы b и b отого следует, что полное уражновешивание пантографной грелы b и b отого следует, что полное

ее центр масс стамещается с центром шарикра B [3], не является оптимальным Частичное уранновешивание стрелы $(a=0,\ b=b^*)$ позволяет значительно уменьшить экергозатраты путем одновременной миниизации движущих сил Q и T.

ЕрПП им. К. Маркса

10. VI 1987

ե. Ռ. ՁԱՎԱԽՑԱՆ

9ԺՈՐՑՎԵՐ ԳՈՐԾՈՆՆԵՐԻ ԱԶԳԵՑՄԵՑԱՆ ՈՒՍՈՒՄՆԱՍԻՐՈՒՅՈՒՆԸ ԱՐԵՒ ԳՎԵԵՐՈ ՔԵՐԱՄ - ԳԳՐՋԱՑԻԿԻՐԵՄԵՄ ԺՐՏԱԶԱԳՐՈՒՇԵԱՄ

Mar den den earl

Առաջարկված է տեղափոխվող օթյեկտի Տորիզոնական տեղաշարժի ժամանակ ձևորի կառավարժամբ պանաոգրաֆային ժանկայությատորի կինեժատիկական զույգերում շփումբ ՏաղքաՏարելու Տամար անհրաժեշտ սպերաաորի ուժի որոշման մենքորիկա և ուսումնասիրված է տարբեր դործոնների աղդեցուքյունը այդ ուժի ժեծության վրա։ Ճայց է արված, որ այդ ուժի վրա դերակլոող ազդեցություն ունեն պանտոգրաֆի այն օղակների երկարությունների Տարաբերությունը, որոնց վրա կիրառվում են շարժիչ ուժերը, և շփումը Տորիղոնական ջարժման համընթաց ղույգում։

Մշակված է ձեռքի կառավարմամբ պահառգրածային մահիպուլյատորի հպատականարմար հավասարակչոման մենեող, որը քեռչը է տայիս տեղափոխվող օբյիկտի հորիզոնական և ուղղաձից տեղաչարժերի համար անհրաժելա չարժիչ ուժերը բերիլ փոքրացույնի։

ЛИТЕРАТУРА

- Полов М. В. Усидие горизонтильной подачи сбидансированных манинуляторов наитографного типа // Проектирование механиямов и динамика мании: Межвузовский сб. наут. трудов ВЗМИ.—М., 1986—Вып. 20—С. 111—115.
- 2: Кожевникая С. Н Теория механизмав и машии.—М Машиностроение, 1973.— 591 с.
- 3. Саркисяя Ю. Л., Дживахия Н. Р. Радиопальное удавновещия ние пенолингельных механизмов манипуляторыя и Изя. ВУЗ-г в. Маниизостроение № 7 С. 44—48.

Has. All ApMCCP (cep. 71h, a XLI, № 5, 1988)

МАШИКОСТРОЕНИЕ

А. В. ХЕЧУМЯН, Г. С. МАРТИРОСЯН, Р. С. МАРТИРОСЯН

ВЛНЯНИЕ ТЕХНИЧЕСКОГО СОСТОЯНИЯ НИПИИДЕЛЬНОГО V3ЛА НА ТЕХНОЛОГИЧЕСКИЕ ПАРАМЕТРЫ ДЕТАЛИ

Известно, что на шероховатость поверхности влияет большое количество факторов: екорость резания, полача, радпус закругления при вершине резца, главный и вепомотательный углы в плане и др. Однако при равных перечисленных условиях, в результате фрезерования плоскостей на десяти вертикально-фрезерных станках мод. 6540 было обнаружено, что шероховатость обработанных новерхностей имеет разброс. При выясшении причин разброса было допущено предположение, что он является следствием наличия дефектов в шпиндельных узлах станков, для чего было провелено исследование технического состояния шпиндельных узлов на диагностическом устройстве [1]. К дефектам сборки были причислены неравнозначное усилие затяжки и перекос передней оноры шпиндельного узла, к дефектам изготовления—отклонение отверстия и гильзе шпиндельного узла от круглости в виде овальности и трехгранности, а также эксцентриситет приводкой шлицевой втулки, который явился следствием несовершенной технологии изготовления [2].

Зависимость шероховатости от режимов и геометрии резация для различных материалов различна, поэтому рассмотрено влияние дефектов сборки и изготовления пинилельного узла на шероховатость обработанной новерхности адюминиевого сплава АЛЭ, броизы БрАЖ9-4, чугуна СЧ21, сталей 45, 65Г, ШХ15 и У8. Производилось чистовое фрезерование, а для идентификании условий обработки и более чистоговыделения влияния дефектов параметры фрезерования были приняты постоянными. С целью исключения влияния износа зубьев фрезы производилась их наработка на износ по стали 45. Измерение величилы шероховатости поверхности производилось по параметру R_a согласно ГОСТ 2789-73

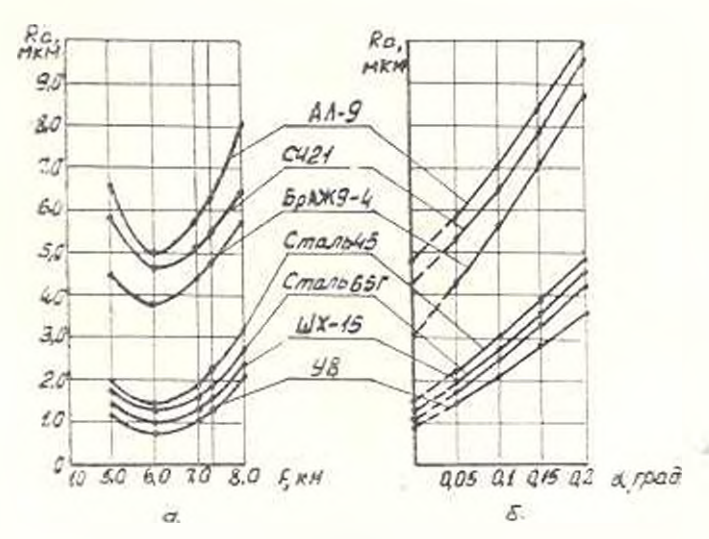


Рис. 1.

На рис. 1 а, б приведены зависимости шероховатости обработанной поверхности от неравнозначного усилия затяжки и перскоса передней опоры. Из [3] известно, что влияние осевого зазора передней опоры шинидельного узла на шероховатость различив и зависит также от степени разогретости станка, поэтому для исключения влияния температуры напрева шпиндельного узла эксперименты производились при определенной температурной стабилизации.

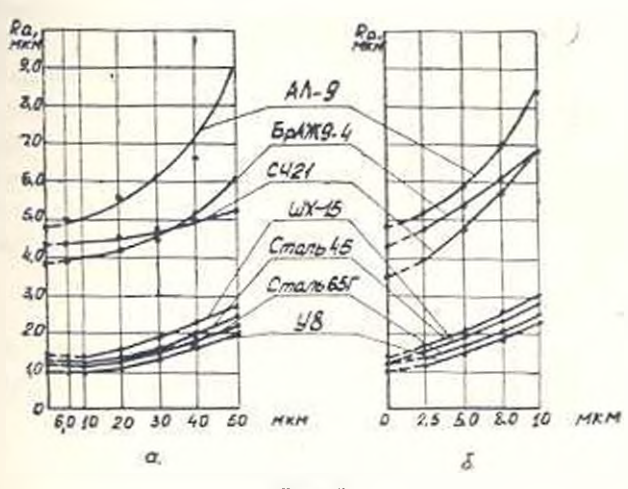


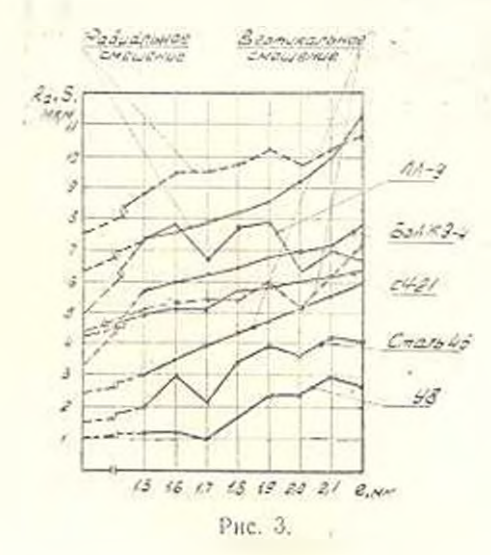
Рис. 2.

Полученные результаты показывают, что при разных уснаних затяжки передней опоры (рис. 1 а) неерохонатость обработанной поверхности меняется. Однако, это влияние не может быть вхарактеризовано однозначно, т. к. с увеличением усилии натижки до 6 κH_{\star} шероховатость поверхности уменьшается, по дальнейшее же его увеличение приводят к увеличению шероховатости для всех обрабатываемых материалов. Из рис. 1 б видно, что с увеличением перскоса наружного кольца перодней опоры ввероховатость увеличивается для всех материалов. При перекосе, равном 0,23°, нероховатость увеличивается по сравцеиню с исходным состоянием при обработке адюминиевого сплава на 5,2 мкм, броизы—4,8 жкм, чугуна 5,55 мкм, егали 45—2,8 мкм, стали 65F—3,43 мкм, стали ШХ 15—3 мкм и стали У8—1,9 мкм. На рис. 2a, б вриведены зависимости шероховатости обработанной поверхности от овальности и грехгранности. По оси коорданат отложены значения шероховатостей обработанных поверхностей, принятых за исходное состояняе. Полученные результаты показывают, что при обоих нидах дефектов с ростом их величины увеличивается значение мероховатости.

Анализируя зависимость інероховатости обработаціюй поверхности от дефекта овальности между разными материалами (рис. 2a), легко заметить, что при овальности, равной 50 мкм, шероховатость увеличивается по сравнению с величинами в исходном состоянии соответственно на 3,2, 2,3, 1,15, 1,13, 1,18, 1,7 и 1,25 мкм. При дефекте трехграциости (рис. 26), равном 10 мкм, шероховатость увеличивается соответственно на 3,6, 3,1, 2,55, 1,7, 1,53, 2 и 1,5 мкм. Здесь также наблюдается реэкое увеличение шероховатости для легких и цветных силавов.

Рассматривая совместно влияние дефектов овальности и трехграиности на шероховатость обработанной поверхности отметим, что трехгранность влечет за собой большее отклонение шероховатости по сравнению с величниой в исходном состоянии, чем овальность.

Изучая зависимость шероховатости поверхности от эксцентриситета шлицевой втулки, изменяющегося в пределах $\epsilon = 1.5-2.2$ мм (рис. 3), петрудно заметить, что с уведичением с шероховатость поверхности, в основном, у всех рассматриваемых материалов увеличивается. У бронзы и чугуна она меняется пропорционально, что нельзя утверждать для сталей 45 и У8 Так, при величине эксцентриситета, равном 1,7 мм, наблюдается уменьшение величины шероховатости поверхности у стали 15 на 0,5 ммм, а У8-0,2 ммм. Аналогичная картина наблюдается и при величинах экспентриситета; равных 2 мм и 2,2 мм.



Анализируя зависимость шероховатости обработаний поверхности от экспентриситета илицевой втулки между рассматриваемыми материалами, находим, что при e = 2.2 им шероховатость увеличивается по сравнению с величинами в исходиом состояний при обработке броизы БрАЖ9-4 на 4.3 мкм, чугуна СЧ21 –2.15 мкм, стали 45—2.7 мкм и стали V8-1.8 мкм. На рис. 3 приведена зависимость шероховатиети обработанной поверхности алюминиевого сплава от экспентриентета илицевой втулки, откуда видно, что с увеличением в шероховатость существенно не меняется, как это наблюдалось при обработке броизы и чугуна, и находится в пределах 6.3—8 мкм.

По сравнению же с исходным состоянием (e=1.5-2.2 мм) шероховатость поверхности алюминисвого силава увеличивается на 1.5—3,2 мкм. Вид кривых пероховатостей поверхностей при обработке алюминиевого сплава и у стальных материалов объясняется характером и величинами изменения вибросмещении шпиндельного узла отпосительно стола в вертикальном направлении и в направлении подачи стола. На рис. З зависимости вибросмещения стола от экспентриситета пилицевой втулки при обработке алюминиевого сплава обозначены

пунктиром. При обработке броязы и чугуна вид криных, характеривующих величины вибросмещений от эксцентриситета шлицевой втулки, подобен кривым, характеризующим зависимость шероховатости обработанной поверхности. Приведениая криная получена при обработке чугуна СЧ21.

Из рис. Звидно, что характер изменения кривых, определяющих авысимость шероховатости обработанной поверхности, идентичен и полобен кривым, характеризующим вибросмещение между ининдельным узлом и столом станка при обработке данного материала.

Чарени, опыти, з-д «Кайп»

20. VIII. 1986

Ա. Վ. հեջոեՄՅԱՆ, Գ. Ս. ՄԱՐՏԻՐՈՍՅԱՆ, Ռ. Ո. ՄԱՐՏԻՐՈՍՅԱՆ

<mark>ԻԼԱՅԻՆ ՀԱՆ</mark>ԳՈՒՅՑԻ ՏԵԽՆԻԿԱԿԱՆ ՎԻՃԱԿԻ ԱԶԴԵՑՈՒԹՑՈՒՆԸ ՄԵՔԵՆԱՄԱՍԵՐԻ ՏԵԽՆՈԼՈԳԻԱԿԱՆ ՉԱՓԱՆԻՇՆԵՐԻ ՎՐԱ

. Rad ip nip nie d

Հետազոտված է ուղղաձից ֆրեզերային աստոցների իրային շանզությ ների ժերենամասերի պատրաստման և չավարման քերությունների աղդեցությունը մշակվող մերենամասի տեխնոլոգիական պարաժետրերի վրա։

Բերված է մակերեսների անդարքությունների փոփոխության օրինաչափությունը կոնսարուկցիոն և գործիրային պողպատների, թուջի և թեթե համաձուլվածըների մշակման ժամանակ, կախված տեխնոլոգիական թերությունների տեսակից և չափից։ Միաժամանակ հետագոտվել է իրային դանգույցի և սեղանի դարաբերական տասանումից առաջացած ջեզման բնույթիր

ЛИТЕРАТУРА

- А. с 599174 СССР, М. Кл² С 01М7/.0 Устройство для даягностики иниидельных узлов исталлорежущих станков. / А. В. Хезумян, Г. С. Мартиросян, Р. С. Мартиросян (СССР).—№ 2101290/25—28; Заяв. 14. 09 76; Опубл. 15. 03, 78, баол. № 11.—138 с.
- Хечумян А. В. Вибрационный контроль шинипдельного узла станка // Изв. МІ Арм. ССР. Сер. ТІІ.—1976.—Т. XXIX, № 3.—С. 15—22.
- 3. Опита Г. Современная техника производства. М.: Машиностроение, 1975 -- 279 с.

Изв АН АрмССР (сер ТН1, т XLI, № 5, 1988)

МАТЕРИАЛОВЕДЕНИЕ

Ю. А АВЕТИСЯН, В Г ГОРБАЧ, 11 Ю ВОЛОСЕВИЧ, О. А. МКРТЧЯН

СТРУКТУРНЫЕ ИЗМЕНЕНИЯ СТАЛИ Х18Н1ОТ ПРИ ЦИКЛИЧЕСКОМ ДЕФОРМИРОВАНИИ С МЯГКИМ НАГРУЖЕНИЕМ

Цель истоящей работы—изучение структурных изменений, возникающих в у—железе (ГЦК решетка) при нагрузках, превышающих предел текучести материала. Для создания равномерного распре целения напряжений по всему сечению образна применяли инклическое растяжение — сжатие. Образны изготовляли из вержавеющей стали X18111О1 (0.13% C, 0.53% Si, 1,7° Mn, 9,55° Ni, 0,61° Ti, 17,9° Ct). Испытания проводили на пульсаторе ЦДМ-ПУ10 при симметричном цикле нагружения с частогой 750 цика/мин и условиях 20 и 900°С. После ник инческой теформации приготовляли шлифы из поперечного сечения образиа, которые травились в 5%-ном растворе щавелевой кислоты в воде (электролитическое травление). Электронно-микроскопические исследования на просвет проводились на электронном микроскопе IEM—6A, а металлографическое изучение на микроскопе «Neophot—2». Плотность дислоканий определялась по методике, описанной в [1]. Исследовались крупнозернистые (отжит 1300°С—2 ч, d=103 мкм) и мелкозернистые образны (отжит 1100°С—1 ч, d=12 мкм).

Значения пределов текучести и прочности стали X18H1OT при статическом растяжении приводены в таблине.

		Табли
Температура, С	Круппозерниста і мПа	Мелкозеринстав МИТа
20	180:563	253 597
900	32 93	77-137

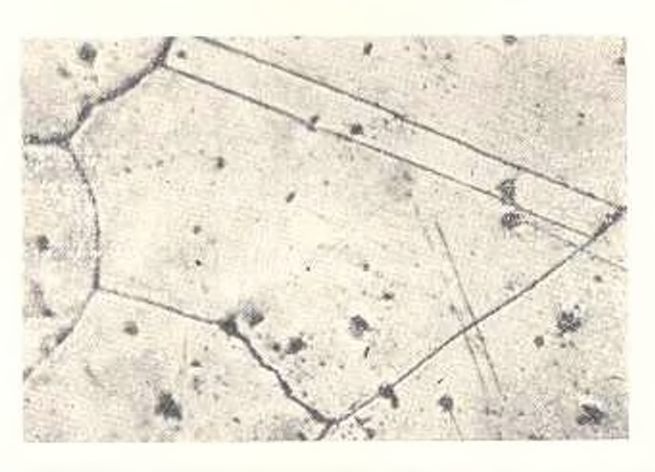


Рис. 1. Микроструктура исследуемой стали X1811101 и отожжениом состоянии, у 300.

В исходном отожженном состоянии микроструктура образнов характеризуется равноосными вернами аустенита, а вногда - c двойниками отжига (рис. 1). При электронно-микроскопическом исследования в исходном состоянии обнаруживаются выделения карбида $Cr_{23}C_6$, которые располагаются внутри (преимущественно на дислокациях) и по границам зерей. Плотность дефектов составляет 10^8-10^9 см⁻²:

твердость HV = 1060 МПа Структурные изменения при пихлической деформации стали X18H1O1 существенны, когла напряжения превышают статический предел текучести.

Крупнозеринстый образец при инклической деформании с нагрузкой, иссколько превышающей предел текучести ($\sigma = \pm 220~MHa$), разрушается через $N = 5000~\rm к$ иклов, но уже через $500~\rm к$ иклов заметно увеличивается плотность дислокации до $10^{10}~\rm c$ мг, а твердость повышается до HV = 1530~MHa. После $5000~\rm к$ иклов наблюдаются глубокие лиши скольжения, деформация по зернам распределяется очень неравномерно. Внутри жрупных зерен аустенита образуется явенстая структура с размерами ячеек $1-2~\rm к$ км (рас. 2). В местах, где образование этой структуры замедлено, в процессе испытания может образованься а-пакетный мартенсит. В случае присутствия яченстой структуры на влектроннограммах наблюдается азимутальное размытие рефлексов, что свидетельствует об увеличении угла азимутальной разориентировки между формирующимися фрагментами кристаллической решетки. Твердость при этом повышается примерно в $1.5~\rm paga$, доходи до значения HV = 1710~MHa.



Рис. 2. Дислоканновная структура стали X18H10T после циклической деформации при 2 / С (т + 220 MHa, N - 700 (цикл), х 25 % 0.

С увеличением нагрузки до $\sigma=\pm 235$ МRa увеличивается часло верен, в которых наблюдаются структурные изменения, вызванные деформацией (рис. 3). При нагрузке $\sigma=\pm 250$ МRa крупполериистый образец разрушается чарел 1300 инклов. При этом наблюдается общес возрастание илотинети дислокации ди $10^{10}-10^{11}$ см. с формированием слабо выраженной иченетой структуры. По это число цаклов охазывается исдостаточным для формирования четко выраженной иченетон структуры и твердость растет до HV=1800 МHa.

Число циклов до разрушения и стали XI8HIOT существенно зависит от величины зерна, что вполие объяснимо, поскольку предет текучести мелкозеринстых образиль значительно выше, чем у предет нистых, а на структурные изменения в данном случае размер зерва мало влияет.

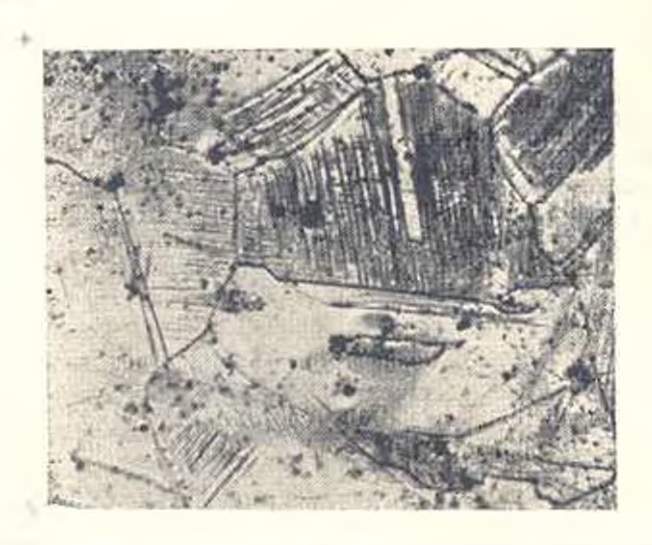


Рис. 3. Микроструктура стали X18ППОТ после пиклической деформации при 20 С (2 — ± 235 МПа. N = 5000 цикл), х 300.

С увеличением нагрузки выше $\sigma_{\parallel}(\sigma=\pm 270~MHa)$ возрастает общая плотность дислокации и появляется слабо выражениая яченстая структура. Величина расщепления одиночных и группоных дефектов унаковки уменьшается. Твердость растет приблизительно в 1.5 раза, достигая величины HV=2000~MHa. Описанные структурные изменения происхолят во внутренних слоях металла, где и впоследствии распространяется усталостная трещина.

Сравнивая усталостные кривые стали X18H1OT при 900°С с аналогичными кривыми, полученными при 20 С, заметно почти десяти-кратное увеличение относительной долговечности при повышении температуры испытания, что связано с развитием процессов разупрачиения. Усталостная прочность зависит от размера верна: при нагрузке $\sigma = \pm 78$ МПа крупповернистая сталь разрушается через $\Lambda = 25500$ циклов. а мелкозернистая—через $\Lambda = 86000$ циклов.

При натрузке $\sigma = -78$ МПа и числе цаклов N = 25500 наблюдаются перавномерно распределенные по сеченню образца области с польшениой (до 10^{10} см. 2) плотностью лислоканий и участки слабо выраженной яченстой структуры (рис. 4). Затем при повышения нагрузки ($\sigma = \pm 127$ МПа, N = 1500) структурные изменсиия становятся выдимы металлографически (линии скольжения) и образуется яченстая структура [2], исобенностью которой при температуре 900 С является более крупный размер ячеек, чем при 20°С, а также невысокая плотность дислокаций виутри ячеек и слабая азимутальная разорнентировка между ячейками в предслах одного зериа. Твердесты растет и 1300—1400 МПа). В мелкопериистых образцах при $\sigma = -78$ МПа деистая структура выражена более чет-

ко, наблюдается также наличие одиночных расшеплочий дислокаций, частота которых невелика, а твердость несколько выше (HV = 1590 М/Ла), чем в крупнозернистых



Рис. 4. Слаго выраженная яченстая структура, осразованшаяся после тиклической теформации стали X181110 г при 900°С (* ±78 *MHa*, N = 2550 цакл), х 2500 0

Таким образом, в стали X18H1OT при циклической деформации с мягким нагружением при 20 и 900°С происходят значительные структурные изменения: на дла порядка возрастает общая плотность дислокаций, увеличивается угол азимутальной разориентировки между формирующимися фрагментами кристаллической решетки, возникают глубокие линии скольжения и формируется яченстая структура, по приводит к значительному упрочнению металла.

ЕрПН им. К. Маркса

27. 1V. 1987

<mark>3, Ա</mark>. ԱվիչիՍՅԱՆ, վ. Գ. ԳՈՐԲԱՋ, Պ. Ց. ՎՈԼՈՑԵՎԻՉ, Ո. Հ. ՄԿՐՏՉՑԱՆ

ԴոժԺԺՈՐՅՎՈՐՈՅՈՒՈՒ ԺՅՐԱԳԾԱԷՑՎՈՐՈՍԻ Վ-TOHIBLE ՇԱՐԱՐ ԵՄԵՐԱՄԱՆ ԺԱՐԱՑԱՐՈՐՈՐԵՐԻ ԺՎՐԱԼԻՐՈ ԳՐԱՄԻՈՒՄԵՐՈՐ ԵՐՈՒԵՐ

U. of denote new of

Տույց արված, որ տաստենիտային XISHOT արդպատում մամուկ բեռնավորմամբ այտստիկ դեֆորմացիաների հետևանքով 20°C-ում տեղի են ուսենում զգայի կառուցվածրային փոփոխություններ, դիայսկացիաների խատաթյունը մեծանում է երկու կարդով, մեծանում է բյուրեղային ցանցի կայմաբոշման անկլունը, առաջանում են սայրի գծեր և ձևավորվում է բջջային կաուսված որոնք բերում են մեատոր դգայի ամրաշման (կարծրությունը ըստ ՈՍ-ի բարձրանում է 1,5 անդամ

Բարձր շերժառաինանում ցիկլային դեհորմացիաների ժամանակ կառուց վածրային փափոխունկունները մոտավարապես ճույնն են, ինչ որ 20 C-ի գեպտոս Երիսերի չափերը այս դեպրում ավելի մեծ են, նրանց ներսում դիոլոհացի ի խոսությունը մեծ չէ և մեկ Հատիկի սահմանում ազիմուտային կողմնորոշումը թույլ է։ Մետաղի ամրացումը 900 C-ում զգալիորեն ցածր էչ բան 20°C-ում, որը կապված է փուլային փոխակերպման դադարեցման և առւստենիտի ջերմային թուլացման հետո

ЛИТЕРАТУРА

- 1. Штремель М. А. Беляков Б. Г. Возможности электронномикроскопического дамерення плотности дислокации // ФММ.—1968.—Т. 25, вып. 1.—С. 140—151.
- Yamaguchi Koji, Kanazawa Kenji, Dislocation substructures of austentile stainless steels after low-cycle fatigue at high temperatures // Trans. Nat. Res. Inst. Metals. — 1984. — 26, № 3. — P. 210 — 214.
- Kesteabach H. J. The effect of applied stress on partial dislocation separation and dislocation substructure in austenitic stainless # Phil. Mag. — 1977. — 36. № 6. — P. 1509 — 1515.

Изв. АН АрмССР (сер. ТН), т. XL1, № 5, 1988

ЭНЕРГЕТИКА

А. М. ВАРТАНЯН Ю. А. КАЗАРЯН, Г. Д. БЕДЖАНЯП

ОБ ОДНОМ МЕТОДЕ РАСЧЕТА ПОТОКОРАСПРЕДЕЛЕНИЯ БОЛЬШИХ ГАЗОТРАНСПОРТНЫХ СИСТЕМ

В энергетическом балансе народного хозяйства потребность в природном так и настоящее время занимает ведущее место, при этом проблема расчета нотокораспределения в газогранспортной сети является одлог из основных задач при оперативном манеарпровании потоками газа с целько получения народнохозяйственного эффекта. За последние годы особое внимание стало уделяться вычислительным аспектам этой проблемы [1—3 и др.]. В настоящей работе предлагается метол расчета потокораспределения в сложной газотранспортной сети, обеспечивающий оперативность решения при малом объеменспользуемой намяти ЭВМ. Метод основан на анализе структурных особенностей исследуемой системы с помощью ее информационного графа и применении искоторой модификации метода Ньютона [4, 5].

Математическая модель базоной задачи потокораспределения, описываемая законами Кирхгофа и замыкающими соотношениями расчетного звена [1, 2], имеет вид

$$\sum_{i=1}^{n} X_{i} = Q_{i}, \quad i = \overline{1, m}, \tag{1}$$

$$m_i P_i - P_j = f(X_i | X_i), \quad i = \overline{1, n_i}$$
 (2)

$$\sum_{r} (P^2 - P_{r+1}) = 0, \quad c = \overline{\Gamma, q}, \tag{3}$$

где X_i — потоки; Q_i — отборы (притоки) газа; P_t — давление газа; m_i — коэффициенты компрессорной станкии; f_i — коэффициенты сопро-

тивления; J_t — множество номеров всех участков в схеме, смежных с узлом i; i_1 и i_2 в соотношении (2) — начало и конец участка i; сумма в (3) берется по всем независимым контурам c; [i, i+1] — участок контура.

При переходе к детальной технологической схеме размеры системы (1)—(3) значительно возрастают и она становится сильно разреженной [6]. В данной работе по возможности максимально используется свойство разреженности, и с учетом этого рекомендованы метолы многократного решения системы (1)—(3). На каждом очередном этапе решения системы (1)—(3) принимаются заданными коэффициенты то j_L а также фиксированы отборы (притоки) Q_c которые могут быть регулированы с помощью внешних итераций. Построим информационный граф системы (1)—(3) и выберем информационные переменные [4]. Исходную систему разделим на две условние подсистемы. В первой подсистеме содержатся уравнения, информационные переменные которых входят линейно, а во второй подсистеме—уравнения, информационные переменные которых входят нелинейно. Подсиавив информационные переменные из первой подсистемы во эторую, получим систему меньшей размерности

$$F_{i}(X_{x}) = 0, \quad i = 1, q.$$
 (4)

где через X_x обозначены часть переменных потоков, выбранных во второй подсистеме в качестве виформационных.

В работе предложен способ построения информационного графа системы (4), исходя только из информационного графа системы (1)—(3), не имея деля с конкретными значениями ураннений. При этом обеспечивается разреженность матрицы смежностей информационного графа системы (4). И хотя система (4) в явном наде не рассматривается, имеем возможность простыми вычислениями в любой точке этой системы получить значения уравнении и коэффициентов матрицы Якоби. При этом есть возможность решать систему (4) методом Иьютона, тем более, что доказывается длагональное преобладание матрицы Якоби. Однако здесь не была использивана разреженность системы (4), которая при рассмотрении больших газотранспортных систем может иметь еще докольно большую размерность.

Пусть G=(V,E)—виформационный граф светемы (4), где $V=\{V_1,\ldots,V_q\}$ —множество вершин, соответствующих уравнениям системы; E—множество ребер, при этом ребро (V,V) $\equiv E$ тогда и только тогда, когда информационная переме для 1-го уравнения содержится в 1-ом уравнения системы. Здесь получаем, это информационной переменной для 1-го уравнения системы (4) является т. к. этого всегда можно достичь изменением нумерации. Заметим, что матрица инциденции графа оказывается симметричной, и, следовательно, граф G рассматривается как неориевтированный.

Наидем наибольшее устойчивое множество графа G [7]. Пусть



является подсистемой системы (4), где $\Phi_1(X_i) = {}_iF_i$ $f \in I_1$: $I_1 \rightarrow$ множество номеров вершии устойчивого яножества G_1 : при этом $X^i = [X]_i$, $f = I_1$ — яножество информационных переменных подсистемы (5); обозначим через $X^* = (X|X)$ и $\Phi^*(X) = F(X_i)$, $f \in (I,I_1)$, $I = \{1,\dots,n\}$.

Выразим переменные N из подсистемы (5) через оставшиеся переменные N_{+}^{1} и подставия в систему $\Phi_{1}^{*}(X_{x})=0$. Получим новую систему

$$\Phi_1^*(X_1) \Rightarrow 0 \tag{6}$$

относительно переменных X^1 . Так как система (5) нелинейная, то в явном виде сделать такую подстансаку невозможно. Предлагается авпарат, позволяющий построять граф системы (6), исходя только ил графа G, и получить зачения уравнений системы коэффициентов матрицы Якоби в дюбой тэчке X^1 . При этом, если размеры опетемы (6) остаются еще большими, то при указанных преобразованиях се информационная матрица сохраняет разреженность. Далее лидлогичная процедура производится с новой системой. (6). Процесс давершается, когда граф новой системы получается полным.

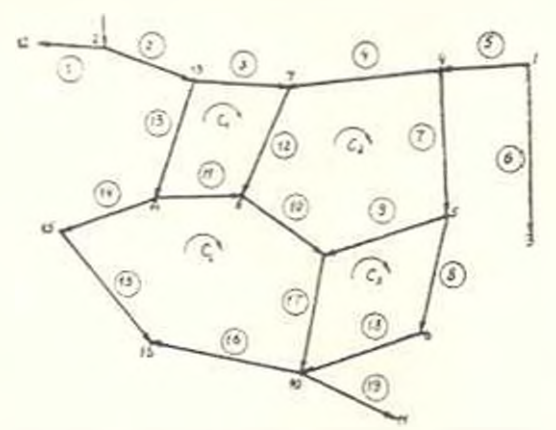


Рис. 1. Стема газотранспортном системы Армянской ССР.

В качестве примера рассмотрена схема газотранспортной сети Армянской ССР (рис.), состоящая из запумерованных 16 узлов и 19 участкой Учел 7 выбран как балансирующий. Выбраны четыр нечаниенмых контура

$$c_1 = \{13, 7, 8, 14, 13\}$$
 $c_2 = 7, 4, 5, 9, 8, 7;$
 $c_3 = 9, 5, 6, 10, 9;$ $c_4 = \{14, 8, 9, 10, 16, 15, 14\}.$

Миаеткам газопроводов дана предварительная ориентиция В смеме имеются на притока в узлах 1 и 2. Заданы векторы отборов и сопротивлений: $Q=(6270,\pm0.830,\pm2570,\pm330,\pm390,\pm45,\pm535,\pm70,\pm2610,\pm3250,\pm260,\pm44.0,\pm0.8300,\pm340,\pm290)$ (ван. = $0.83 \cdot 10^{-3}$).

 $0.48 \cdot 10^{-5}$, $0.23 \cdot 10^{-5}$, $0.31 \cdot 10^{-2}$, $0.31 \cdot 10^{-2}$, $0.31 \cdot 10^{-2}$, $0.25 \cdot 10^{-3}$, $0.26 \cdot 10^{-2}$, $0.54 \cdot 10^{-3}$, 0.19, $0.61 \cdot 10^{-5}$, $0.35 \cdot 10^{-3}$, $0.17 \cdot 10^{-4}$, $0.68 \cdot 10^{-3}$, $0.42 \cdot 10^{-2}$, $0.16 \cdot 10^{-5}$, $0.35 \cdot 10^{-3}$, $0.15 \cdot 10^{-4}$, $0.22 \cdot 10^{-1}$, $0.15 \cdot 10^{-2}$). Задано давление балансирующего узла $P_2 = 4.M/Ia$.

Выберем информационную переменную систему и разделим ее на ляе подсистемы, в зависимости от того, информационные переменные входят в уравнениях линейно или нелинейно. После преобразований и нерархизации первая подсистема примет следующий вид (слева указываются информационные переменные):

$$X_{1} = Q_{12}; \qquad X_{2} = Q_{2} - X_{1} \qquad X_{3} = -Q_{3} + X_{2} - X_{13}$$

$$X_{6} = Q_{13}; \qquad X_{5} = Q_{4} - X_{6}, \qquad X_{19} = -Q_{15} + X_{11};$$

$$X_{10} = Q_{10}; \qquad X_{11} = -Q_{14} + X_{1} - X_{14}, \qquad X_{19} = -Q_{15} + X_{11};$$

$$X_{16} = Q_{16} - X_{16}; \qquad X_{19} = -Q_{5} + X_{2} - X_{6}; \qquad X_{14} = -Q_{4} + X_{14};$$

$$X_{11} = Q_{10} - X_{16} + X_{16} + X_{1} \qquad X_{10} = Q_{5} - X_{5} - X_{12}; \qquad X_{12} = Q_{5} - X_{11} + X_{10};$$

$$P_{6}^{2} = P_{10} - X_{16}, \qquad P_{10}^{2} = P_{10}^{3} - P_{10} X_{12}^{2};$$

$$P_{16}^{2} = P_{10}^{3} - P_{10} X_{16}^{2}; \qquad P_{16}^{2} = P_{10}^{3} - P_{10} X_{16}^{2};$$

$$P_{16}^{2} = P_{1}^{3} + f_{1} X_{11}^{2};$$

$$P_{14}^{2} = P_{6}^{2} + f_{1} X_{11}^{2};$$

$$P_{15}^{2} = P_{7}^{2} + f_{2} X_{3}^{2}; \qquad P_{2}^{2} = P_{13}^{3} + f_{3} X_{2}^{2};$$

Вторая подсистема имеет вна

$$X_{13}^{2} = (P_{14} - P_{14}) f_{13}, \quad X_{1}^{2} = (P^{2} - P_{1}^{2}) f_{1},$$

$$X_{13}^{2} = (P_{1}^{2} - P_{1}^{2}) \qquad X_{13}^{2} = (P_{14}^{2} - P_{1}^{2}) f_{13}.$$

Здесь под выражением X_1 подразумевается X_2 . Выражая информационные переменные первой подсистамы через X_2 и подставляя во вторую подсистему, получаем систему

$$F_1(X_{13}, X_2, X_{14}) = 0, \quad F_2(X_{13}, X_2, X_3, X_{14}) = 0,$$

$$F_1(X_2, X_3, X_{14}) = 0, \quad F_1(X_{13}, X_2, X_3, X_{14}) = 0.$$

где подчеркнуты информационные переменные

Таким образом, исходная система ураннений видится к системе, намного меньшей размерно ти, оторая решает метолом Ноюгона.

Предварительные расчеты показали высокую эффективность предложенного подхода.

ЕКО ВИПИЭГазпрома

10.1. 1987

Ա. Մ. ՎԱՐԻՍՆՅԱՆ, ՑՈՒ, Հ. ՂԱԶԱՐՅԱՆ, Գ. Գ. ՐԵԶԱՆՅԱՆ

ԳԱԶԱՏՐԱՆՈՒՈՐՏԱՑԻՆ ՄԵԾ ՀԱՄԱԿԱՐԳԵՐԻ ՀՈՍՔԱԲԱԺԱՆ<mark>ՄԱՆ</mark> ՀԱՇՎԱՐԿԻ ՄԵԿ ՄԵԹՈԳԻ ՄԱՍԻՆ

11. մ փոփում

Առաջարկվում է գազատրանսպորտային բարդ ցանցում դազի հոսքի հաշվարկման մեքող, հիմնված հետազոտվող համակարգի կառուցվածքային տոտնձնահատկունքյունների վերլուծման վրա, որը իրականացվում է վերջինիս ինֆորմացիոն գրաֆի օգնությամբ և Նյուտոնի ձափոխված մեքնոդի կիրառմամբ։ Մշակված մեքնոդը նպաստում է բարդ ցանցի հոսքաբաժանման իւնդրի դործադրական լուծմանր ԷՀՄ-ի հիչողության փոքր ծավայի օգտագործման պայմաններում։

ЛИТЕРАТУРА

- Бермин Р. Я., Нанкрато В С Опыт ЭВМ з.: расчета сложных гапопроводов // Антоматизация, телемеханизация и связы в газовой промывленпости. 1978 — С 21—26.
- Грубопроводные тракспорт газа С. А. Бобровский, С. 1. Щербяков, Е. И. Яковлен и др. — М.: ВНИИЭТазпром, — М. Паука 1976 — 193 с.
- Колья А. С., Врянсках В. Е., Яколью Е. М. Аналия оперативно режимов газотран, портник систем. Л. Транспорт и хране-не газо М. ВНИ*ИЭГязиром, 1986. Вып. 7.—42 с.
- Писничный Б. И., Варганяя А. М. О решения систем урлонений заданный структуры.—Киса, 1984.—34 с. (Преприят АП УССР, Ин-т Кибериетики, \$1-20).
- Вартинян А. М. Метод расчета гидравлических систем большого размера // Иза: All СССР, Энергетика и транспорт. → 984 — № 4. — С. 47—54
- Тынит он Р. Разлежение матрина. М.: Мар. 1977 189 г.
- Умераон Ф. Теория графиа М.: Мар. 1978. 300 с.

Han All ApMCCP (cep TH), r XLI, No 5, 1988

ЭНГРІ ЕТИКА

А С АВАКИМОВ, Г. А АПРАПЕТЯН, Т. И. АСАТРЯН, Р. Д. МУРАДЯН

РЕАЛИЗАЦИЯ ПРОТИВОАВАРИПНОТ АВТОМАТИКИ ЭЛЕКТРОЭНЕРГЕТИЧЕСКИХ СИСТЕМ ИЛ БАЗЕ МИКРО ЭВМ

Технические характеристики установленных и настоящее премя в электроэнергетических системах (ЭЭС) устройсти противоаварийной автиматики (ПА) не удовлетворяют современным требованиям Нязкими являются весогабаритные показатели, практически отсутствуют

системы самоконтроля и днагностики, устарела основаниая на электромеханических реле элементная база, из-за недостатка необходимой информации и несовершенства средств дозировки управляющие ноздействия сильно завышены.

Для современного состояния противоаваринного управления характерен новый этап в развитии: комплексы средств ПА перестают быть вспомогательным средством и становятся основным фактором, кардинально влияющим на перспективы развития ЭЭС. Дальнейшее развитие и совершенствование ПА связано с внедрением управляющих ЭВМ. Для обеспечения аппаратно-вычислительной части, связанной с задачами управления установницимися и переходными режимами ЭЭС, в мировой практике начато широкое применение микропроцессоров, обеспечивающих высокое быстродействие при повышенной живучести. Прогресс в области создания отечественной микропроцессориой техники, неуклонное повышение технико экономических воказателей разрабатываемых и выпускаемых микро-ЭВМ побуждает разработку комплексов ПА (КПА), в состав которых входят микропроцессоры, выполняющие функции отдельных звеньев ПА.

В Армянском научно-исследовательском институте эпергетики разработан КПА предотвращения нарушения устойчивости ЭЭС при воз-

инкновении аварий на меженетемных связях (МС).

В состав КПА входят следующие устройства [1-3]:

1. Пентральный анализатор режима (ПАР), осуществляющий функции определения значений предельно допустимых перстоков по различным сечениям МС, ориентировочных объемов разгрузки с распределением по объектам уставок для установления факта аварии, а также преобразования этой информации с целью передачи ее через телеканалы на объектиме дозирующие устройства Функции ПАР выполняет ЭВМ, установленияя на циспетчерском пункте ЭЭС.

2. Объектные дозирующие устройства (ДУ), выполняющие функции автоматов дозировки воздействий (ДДВ), автоматов запомицания дозировки (ДДЕ), преобразователей сигналов, устройств фиксации факта и тяжести взарии на МС, а также функции определения объемов экстренной разгрузки при персгрузке МС. В качестве устройств ДУ используются микропроцессоры, устанавливаемые на объектах противоаварийного управления ЭЭС.

3. Устройства сопряжения с объектными исполнительными органами (УСО) ПА, предлазначениме для коммутация выходных ценей АЗД и исполнительных органов. УСО представляет на себя реленную панель.

4. Передача информации в ЦАР и от ЦАР к ДУ осуществляется с помощью телеканалов в двончном коде. При этом используются ус-

тройства УТК-1.

ШАР постоянно находится в рабочем состоянии. Согласно виформации о перетоках активной мошности по МС, поступающей в ЭВМ, для возможных аварийных ситуаций выбираются объекты прогизоцрарийного управления, определяются уставки, по которым может быть

на объекте фиксирован факт аварии, определяются предельные значения перетоков в пормальном и послеаварийном режимах. С этой целью используется также поступающая в ЦАР экспресс-информация о мошности ряда станций ЭЭС.

Информация, необходимая для дозировки противоаварийных возлействий, передается в ДУ только тех объектов, которые определены в ЦАР как объекты противоаварийного управления в данном режиме. В основе алгоритма расчета дозировки лежат следующие выражения:

$$P = \frac{P_{\text{TO}}(\hat{c}_{\text{RB}} - \hat{c}_{\text{O}}) + P \cos \hat{c}_{\text{RP}} - P_{\text{m}} \cos \hat{c}_{\text{O}} + (P_{\text{m}} - P_{\text{m}}) \cos \hat{c}_{\text{O}}}{\hat{c}_{\text{RB}} - \hat{c}_{\text{O}}} : (1)$$

$$o_0 = \arcsin \frac{P_1}{P_m} = c_{\kappa\rho} = 180^{\circ} - \arcsin \frac{P_2}{P_m}$$
 (2)

$$\hat{\epsilon}_{\alpha\gamma\kappa} = \epsilon_0 + t_{\alpha\gamma\kappa} \frac{\Delta\omega_{\alpha} + \Delta\omega_{\alpha}}{2} = \epsilon_0 + t_{\alpha\gamma\kappa} \frac{\Delta\omega_{\alpha}}{2}; \tag{3}$$

$$\Delta w_{\text{ura}} = \sqrt{\frac{2 \cdot 314}{T} \left[P_{\text{TO}} (\tilde{v}_{\text{ac}} - \tilde{v}_{0}) + P_{\text{ac}} (\cos \tilde{v}_{\text{ac}} - \cos \tilde{v}_{0}) \right]}; \quad (4)$$

$$\hat{a}_{11B} = \hat{a}_{\sigma r \kappa} + \frac{\Delta \omega_{11} - \Delta \omega_{2R}}{2} \left(\ell_{DB} - \frac{1}{2} \right)$$
 (5)

$$\Delta \omega_{RB} = \left[\frac{2 \cdot 314}{I} \left[P_{TB} \left(\delta_{IB} - \delta_{IB} \right) + P_{IB} \left(\cos \delta_{IB} - \cos \delta_{IB} \right) \right], \quad (6)$$

где заданными являются следующие величины: $P_{\rm TO}$ — мощность передаваемого генератора, эквивалентно замещающего избыточную энергосистему; $P_{\rm i}, P_{\rm i}, P_{\rm i}$ — пределы передаваемой мощности по сечению МС в доаварийном, аварийном и послеаварийном режимах, рассчитываемые в микро-ЭВМ по полиномам в зависимости от количества агрегатов на отправных электростанциях; $t_{\rm int}$ время и электрический угол отключения короткого замыкания (к. з.): $t_{\rm int}$ — время и электрический угол противоаварийного воздействия.

В пропессе расчета организуются три итерации соответственно между формулами (3) и (4), (5) и (6), (1) и (3) для различных случаев повреждения на каждой из МС (условно-тяжелое, среднее и легкое к. з., определяемое уровнем напряжения прямой последовательности). После завершения итерационного процесса определяется величина разгружаемой монности по выражению.

$$\Delta P = P_{TO} - P_{T} \tag{7}$$

согласно которой в режиме выдачи мощности производится отключение генераторов на электрических станциях, а и режиме приема—флеров на подстанциях.

В случае импульсной разгрузки тепловых турбии величина разгружаемой мошности пересчитывается: в соответствующую плительность импульса согласко полиному

$$T_{ij} \stackrel{?}{=} a_0 + a_i \Delta P + a_i \Delta P^i, \tag{8}$$

Расчет коэффициентов полинома для конкретного типа наровых турбин предварительно производится по специальной методике, где и зависимости от базисной разгружаемой мощности определяется равнозначияя в смысле количества рассеянной энергии длительность импульса. Из условия обеспечения статической устойчивости послеаварийного режима производится также расчеты амплитуды остаточного импульса на входе электрогидропреобразователя (ЭГП) и длительности сягнала на входе механизма изменения скорости вращения (МИСВ) турбины. Полученная дозировка заносится в специально отведенные под АЗД ячейки намяти микро-ЭВМ. Поступающая по телеканалам информация анализируется и повториая пропедура прозводится в случае, если переток по одной из МС изменился на некоторую величину, большую г.

При поступения в микро-ЭВМ сигнала об авария на одной из МС и фиксации аварийного отключения производится инфро-аналоговое преобразование дозпровки, согласно которой производятся воздействия на объектах противоаварийного управления.

Фиксация перегрузки МС сверх предельно допустимых значений осущестиляется путем определения разности мощностей в двух соседних информационных сернях, поступающих с интервалом 0,01. После чего определяется объем экстренной разгрузки и формируется соответствующий сигнал или реализации противоаварийных воздействий

Высокая падежность функционирования КПА обеспечивается сопоставлением входимх величин, а также мажоритарным сопоставлением результатов, полученных на трех микро-ЭВМ.

Арм НПИЭ 17. 1V. 1986

<mark>ս. Ս. ռվափիքով, Գ. Ա. Հա</mark>նրաններան, Թ. Պ. ասանրենն, Թ. Ջ. Մոհրաբենն

ԷլիկՏՐԱԷՆԵՐԳԵՏԻԿԱԿԱՆ ՀԱՄԱԿԱՐԳԵՐԻ ՀԱԿԱՎԹԱՐԱՑԻՆ <mark>ԱՎՏՈՄ</mark>ԱՏԻԿԱՅԻ ԵՐԱԳՈՐԾՈՒՄԸ ՄԻԿՐՈԷՀՄ₋Ի ԿԵՐԱՌՄԱՄԲ

Հոդվածը նվիրված է միկրոէՀՄ-ի կիրառմամբ Հակավքարային ավառմատիկայի Համայիրի իրացմանը, որը նախատնսված է էլնկարաէներդետիկական Համակարգերի կայունուիյան խանդարման կառհղմանը միջՀամակարգային կապերի վնարային անգատման կամ գերբեռնման դեպթում։ Բերված է հակավնարային ղեկավարող աղգեցությունների չափի որոշման ալդորինմը։

ЛИТЕРАТУРА

1, Совалов С. А. Режимы единой энергосистемы. М. Эпергоятомиздат, 1983.--384 с.

Иофьен Б. И. Автоматическое авархйное управление мониностью энергосистем.—
 М. Эпергия, 1974—416 с.

Портной М. Рабинович Р. С. Управление эпергосистемами для обеспечения устойчивости.—М... Эпертия, 1978.—352 с.

Нав All ApмССР (сер. ТН), т. XLI, № 5, 1988

СИСТЕМЫ УПРАВЛЕНИЯ

С. В. ПАМБУХЧЯН, Л. С. КОСТАНЯН

СИНТЕЗ КВАЗНОПТИМАЛЬНЫХ СИСТЕМ АВТОМАТИЧЕСКОГО УПРАВЛЕНИЯ ТРЕТЬЕГО ПОРЯДКА С ПРИМЕНЕНИЕМ НЕЛИНЕПНОГО ПРОГРАММИРОВАНИЯ

Системы автоматического управления (СЛУ), синтезированные на основе линейной модели объекта, на практике могут оказаться неработоснособными. Причиной этому может послужить гот факт, что часто в состав автоматических систем входят существенно нелинейные элементы, которые меняют характер системы и придают ей такие свойства, которые никак не могут быть исследованы в рамках линейной теории [1].

В настоящей работе на примере объекта третьего порядка решается задача синтеза квазиоптимальной САУ с учетом в канале управления ислинейности типа зоны нечувствительности (ЗН). Синтез проводим в два этапа. На первом этапе пренебрегаем существенными нелинейностями и считаем, что объект управления является линейным. На втором этапе, используя результаты первого этапа, с помощью метода нелинейного программирования находим квазнонтимальный закон управления, обеспечивающий более низкий уровень амилитуды вознакция автоколебания

Рассмотрим линеаризованный объект третьего порядка с математической моделью

$$X = AX + BY, \quad Y = U. \tag{1}$$

Требуется определить U_{ϵ} минимизирующего критерии качества

$$J = \int_{0}^{\infty} (x_1^2 + x_2^2 + y^2 + u^2) dt,$$
 (2)

Оптимальный закон управления будет [2]

$$u = k_1^0 x_1 + \dots + k_y, (3)$$

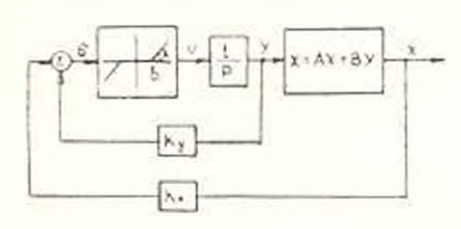
где $X = \begin{bmatrix} x_1 \\ x_2 \end{bmatrix}$ вектор фазовых координат; $A = \begin{bmatrix} a_{11} & a_{12} \\ a_{21} & a_{22} \end{bmatrix}$ – постоян-

ная неустойчивая матрица; $B = \begin{bmatrix} b \\ b_2 \end{bmatrix}$ — известный вектор; k_0 — вектор коэффициентов обратных связей.

Согласно [3] пеустойчивость матрицы А не ограничивает примечение принципа максимума при оптимальном синтезе системы (1). На втором этапе в системе (1) учитывается реально существующая неливейность в канале управления, что приводит к нелинейному описанию объекта управления

$$X = AX + BY$$
, $Y = U$, $U = o(s)$, $s = x_1 + x_2 + x_3 + x_4 + x_5$ (4)

Структурная схема системы (1) приведена на рисунке.



Рис

Характерным отличнем системы (4) от овтимально синтезированной линейной системы (1) является образование области в простраистве параметров системы, где движение носит автоко јебательный характер.

Действительно, при $|\sigma| < b$ (b—половина ЗН, рис.) обратные связи отключены (U=0), тогда в силу вступает неустойчивость матрицы А и фазовая точка стремится покинуть область зоны нечувствительности. Это приводит к подключению обратных связей ($|\sigma| > b$), которые переводят физовую точку обратно в ЗН и пропесс повторяется заново.

Методом гармонической линеаризании определим амилитулу и частоту автоколебаний Известно, что

$$z(z) = gz, \tag{5}$$

где

$$g = k - \frac{2k}{\pi} \left(\arcsin \frac{k}{2\pi} + \frac{k}{A_{mi}} \right) - \frac{1}{12}$$
). (6)

Здесь k — угловой коэффициент (k — tg 2) наклона линейной части ЗН (рис. 1), A_m — амилутуда автоколебаний. Подставляя (5) в (4), молучяем:

$$X = AX + BY; \quad Y = U; \quad U = ge; \quad z = k_1 + k_2 + k_3 y$$
 (7)

или

$$\begin{bmatrix} \dot{x}_1 \\ \dot{x}_2 \\ \dot{y} \end{bmatrix} = Q \begin{bmatrix} x_1 \\ x_2 \\ y \end{bmatrix}. \tag{8}$$

$$Q = \begin{bmatrix} a_{11} & a_{12} & a_{13} \\ a_{21} & a_{22} & a_{23} \\ a_{31} & a_{32} & a_{33} \end{bmatrix}, \quad a_{11} = k_{1}g \quad (i = 1, 2, 3), \quad a_{12} = b_{1}, \quad a_{23} = b_{2}.$$
 (9)

В результате характеристическое уравнение матрицы принимает вид

$$D(p) = (-p)^3 + c_1(-p)^2 + c_2(-p) + c_3 = 0,$$
 (10)

где

$$c_1 = \sum_{i=1}^{3} a_{ii}, \quad c_2 = \sum_{i=j}^{2} \begin{vmatrix} a_{ii} & a_{ij} \\ a_{ji} & a_{jj} \end{vmatrix}, \quad c_3 = \det Q$$
 (11)

являются главными минорами (или их суммами) матрицы Q.

Подставляя K^{\pm} в (11), получаем сі как функцію от единственного параметра g Д. я нахожедния g (и соответствующей A_m) приравияем пулю предпоследний определитель Гурвица характеристического уравнения (10)

$$\Delta_2(g) = -c_1c_2 + c_3. \tag{12}$$

При этом необходимо, чтобы остальные определители были положительными: $\Lambda_i(g) > 0$ (i=1,2). Решая уравнение (12), находим g, a по (6)—амплитуду автоколебаний A. Затем по известной методикенайдем частоту автоколебаний. Исходи из особенностей системы (7) можно утверждать, по автоколебания имеют устойчивый характер. Если амплитуда автоколебаний A_{ii} не удовлетвориет требованиям, предъявленным к системе (1), необходимо уменьшить их до требуемого значения. Для этого зададим я значением $A_{ii}^* < A_{iii}$ (соответственное $g^* < g$). Подставим g^* в (10) и получим коэффициенты характеристического уравнения в виде функции от параметров обратилх связей (k_i). В результате задача сводится к нахождению таких значений k_i^* , которые обеспечили бы условие $A_i^* < A_{iii}$.

Аля решения этой задачи применяются методы пелинейного программирования и соответствующий алгоритм скользящего допуска. В-качестве половой функции выбираем

$$F(k_1) = \{\Delta_2(k_1^0) - \Delta_2(k_1)\}^2.$$
 (13)

Ограниченияма в виде перавенети служат условия положительности коэффициентов характеристического уравнения (10)

$$(i = 1, 2, 3).$$
 (14)

В результате решения задачи получим новые значения нараметров к. Соответствующее кназноптимальное управление будет

$$u = k_1^* x_1 + k_2 + k^* y \tag{15}$$

В выгоритме екользинего допуска еходимость к экстремальному значению гелезой функции в имногом зависит от выбора начальной

точки в пространстве вырируемых параметров. В этой задаче за начальную точку приняты значения коэффициентов k_1° из (3), чем была достигнута быстрая сходимость алгоритма.

 $egin{align*}
otag egin{align*}
 & \Pi egin{align*}
 & A = \begin{bmatrix} 1 & 2 \\ -1 & 3 \end{bmatrix}, \quad B = \begin{bmatrix} 1 \\ -2 \end{bmatrix}$ коэффициенты обратных

связей, обеспечивающие оптимальность (1) по критерию (2), имеют следующие значения: $k_1^+ = -2.543;\; k_2^0 = 20.863;\; k_3^0 = -9.462.$

После введения нелинейности ($b=2,\ k=1$) появляются автоколебания с амплитудой $A_m=4.72$ и частотой $m=3.33\ c^{-1}$. Зададимся новым значениям $A_n^*< A_m$, где $A_n^*=3.1$ (c=0.219). Для этого случая получим коэффициенты квазионтимального закона управления

$$k_{3}^{*} = -2.74, \ k_{3}^{*} = 22.79, \ k_{3}^{*} = -10.59.$$
 (16)

Время решения задачи нахождения параметров (16) на ЭВМ EC—1022 вместе с транслянией программы составляет около одной минуты. Результаты моделирования движения системы на аналоговой машине МН—7М приведены в таблице.

зовых крор	элинат (В)		
	Амилитулы фазовых коорлинат (В)		
у	9		
1,0	3,3		
8,0	2.3		
	1,0		

Данные нижней строки таблины соответствуют значениям обратных связей при учете ЗН, а верхней строки—бет учета. Ис сравнения результатов моделирования следует что действительно движение системы улучшается, т. е. амилитуды фазопых координат x_1, x_2, y и и уменьшаются соответственно на 33, 59, 20 и 30%.

Разработанная методика находжения квазновтимального закона управления может быть применена при спитезе систем по заданным показателям качества и одтимизации операторов управления (регуляторов, корректирующих устройств)

Epliff aw K. Mapicca

10. V. 1987

II. J. AKUTONI-1981W. J. II. LOUSIWANA

ԵՐՐՈՐԴ ԿԱՐԳԻ ԿԵՂԾ ՕՊՏԻՄԱԼ ՂԻԿԱՎԱՐՄԱՆ ՀԱՄԱԿԱՐԳԵՐԻ ՀԱՄԱԳՐՈՒՄԸ ՈՉ ԳԾԱՅԻՆ ԾՐԱԳՐԱՎՈՐՄԱՆ ԿԻՐԱՌՄԱՄԲ

Ու դծային համակարգի օպտիմալ համադրումը իրականացված է երկու փուլով։ Առաջին օպտիմալ դեկավարման օրենքը որոշված է գծայրն համակարգի համար, իսկ հրկրորդում հաշվի է առնվում անզգայնության դոտու առկայությունը դեկավարման կապուղում Այնուհետև ոչ դծային ծրագրուվոր-ման մեթոդով դանում են ղեկավարման նոր օրենը՝ ինբնատատանումների ամպիտույր փորրացնելու համար։

ЛИГЕРАТУРА

- Абдиласа И. Д., Петров Ю. И. Теория и методы проситиуованая оптимальных регуляторов.—Л. Эпергоатомиздат, 1985—240 с.
- 2 Памодунян С. В., Колтанян Л. С. Бесларян А. Л. Определение моментов перскаючения при оптимальном данжении на фазовом пространетве // Им. АН-АрмССР Сер. III.—1986.—Т XXXIX, № 1—С 19—24

3 Математическая теория оптимальных процедов / Л. С. Поитрягии, В. Г. Билтянский, Р. В. Гамкрелидзе и др. М. Физматтия 1961—391 с.

H.m. AH ApsiCCP (eep. 111), 1 XLI, No 5, 1988.

СИСТЕМЫ УПРАВЛЕНИЯ

Э. С. АРУТЮНЯН, А. А. МУРАДХАНЯН Р. М. ТАШИЯН

СПИТЕЗ УСТАНОВОЧНОЙ ПОСЛЕДОВАТЕЛЬНОСТИ ДЛЯ ГЕНЕРАЦИИ ТЕСТОВ ДИСКРЕТНЫХ УСТРОИСТВ С НАМЯТЬЮ

Проблема автоматической генерации контролирующих и диагностических тестов для дискретных устройств с намятью (ДУП) ариобретает особую актуальность из-за узеличения сложности выпускаемых средств вычислительной техники, построенных на элементной базе ИС с высоким уровнем интеграции. В частности, при исследовании и разработке такой комионенты тестового диагноза, как сантез установочной последовательности для ДУП, особое внимание уделяется повышению эффективности предлагаемых алгоритмов.

В данной работе предложен алгоритм синтеза установочной носледовательности, который в отличие от существующих методов [1, 2] позволяет нахолить существующие решения без наложения ограничений на структуру ДУП Основные понятия и герминология, используемые в работе, определены в [3, 4]. Затача синтеза установочной последовательности для ДУП формулируется следующам образом.

Дана структура ЛУП с потенинальным управлением, представления базовой системой логических элементов И. И ИИ. И-НЕ, ИЛИ-НЕ, МОЛ-2, веисправность $f \in (0,1)$, множество устанавливаемых контуров: $U = a + i \in [1, \dots, m]$, значения их элементов в алфавите $[0, 1, \infty]$, а также помера иходных и выходных элементов контуров.

Требуется построить установочную последовательность X длиной L, подача которой на входы ДУП устанавливает контуры милжества U, независимо от исходного состояния, в требуемое состояние.

Примем, что входной набор контура типа α устанавливает контур в определенное состояние σ (установочный набор, набор типа β не изменяет состояния контура—нейтральный набор). Прежде чем начать описание процесса синтеза установочной последовательности, введем и обозначим ряд операций:

- а) Оп₁—операция «однозначной фиксации в обратном направлении». Эта операция выполняется пад такими элементами ехемы, выходные значения которых однозначно определяют все неустановленные входные значения, т. е. входные координаты выбранных элементов устанавливаются из неопределенного состояния х в определенные 0 или 1 в соответствии е функцией реализуемой элементом;
- 6) Оп₂—операция «однозначной фиксании в прямом направления». Ока выполняется над элементами схемы, чьи входиме значения однозначно определяют выходиме значения, т. е. выходиме координаты выбранных элементов устанавливаются из неопределенных состояний х в определенные О или 1 в соответствии с функциями реализусмыми элементами. В процессе выполнения этих операций одновременно производится проверка физической непрогнворечивости установлениях значений:
- в) Опу—операция «расширення фиксации». Она выполняется над элементами схемы, чъи выходы получили значения 0 или 1, а входиме значения в зависимости от количества пеустановленных входов можно установить песколькими вариантами. Опу—позволяет заменять противоречивую фиксацию на пепротиворечивую, а также, функционируя с Опу и Опу, расширять пепротиворечивую фиксацию и первичных входов схемы.

Вычисление установочной последовательности выполняется двумя: процедурами. Для первой процедуры предполагаем, что заданы неисправность $\equiv (0.1)$ и множество I устанавливаемых контуров с требуемыми состояниями. Требуется определить контуры $ai \equiv U$, на входах которых образуется нейтрольный набор β в результите влияния ненеправности.

Пропедура пачинается с выбора пар и Выбор контуров от производится по одному из множества U. По значениям выбранной пары выполняются операции Out и Ouz, в которых блокируется признак «нет соответствия». Затем внализируется паличие набора В на входах выбранного контура. При отсутствии такого набора выбирается очередной контур из U и пад значенцими последнего вновь выполняются операции Out и Ouz. Этот происсе выполняется до тех пор, пока ис будут рассмотрены все контуры. При наличии нейтрального пабора хотя бы на входах одного из выбранных контуров, процесс прекращается.

При отсутствии набора β переходим к выполнению второй процедуры, τ , е. в синтему установочной последовательности входных наборов X длины L

Вычисление установочной последовательности выполняется в даа этапа. На первом этапе всем контурам из U принисываются заданные

состояния. На внешних входах, посредством которых можно изменять эти состояния, устанавливаются значения, запрешающие изменение заданных состояний. Затем выполняются On_1 и On_2 . По завершении этого этапа выделяется подмножество U_1 контуров, получивших на своих внешних входах набор типа β . На втором этапе на входах всех контуров $a_1 \in UU_1$ устанавливаются значения, обеспечивающие заданные состояния контуров, выполняются On_1 , On_2 и On_3 , после чего получается установочный набор X_1 , устанавливающий контуры $a_1 \cup U_1$ в заданые состояния — при этом сохраняющий состояния контуров подмножества U_1 .

Затем процедура повторяется спачала для контуров $a_i \in U_i$ до тех пор, пока все контуры не будут установлены. Наборы в установочной последовательности нумеруются в обратном порядке, т. е. вычислительный набор X_i и установочной последовательности занимает первое место, а набор X_i — последнее.

Предложенный алгоритм предусматривает перебор всех возможных вариантов установки контуров и если пельзя построить по этому алгоритму установочный набор, то такой последователь ости входных наборов для обнаржения неисправности / не существует.

Предложенный способ синтеза установочной последовательности для ДУП позволяет оптимизировать построение установочной последовательности для последованных ДУП. Легко показать, что надача «Синтез установочной последовательности для ДУП» в пощем случае NP считается полной.

Программа, составленная на основе предложенного способа, реализована на ЕС—ЭВМ и нанимает около 4400 байтов памяти. Программа опробована в процесс, отладки и экспериментальной эксплуатации на достаточно большом количестве схем, разнообразных по степени сложности и функциональному назначению. Для всех схем установочная последовательность была синтезпрована за приемлемое премя. Полученные результаты подтверждают, что премя синтеза установочной последовательности в основном зависит от глубины логической структуры и степени се связанности.

ВЦ Микантотракс АруССР

21, IV. 1986

ь, от ипперваровия, ил и пирричениями, от и, рисцапа

ԳՐՈՒՑԹԱՅԻՆ ՀԱԶՈՐԳԱԿԱՆՈՒԹՅԱՆ ՍԻՆԹԵԶՈՒՄԸ ՀԻՇՈՂՈՒԹՅԱՆ ՊԱՐՈՒՆԱԿՈՂ ԸՆԴՀԱՏ ՈԱՐՔԱՎՈՐՈՒՄՆԵՐԻ ՏԵՄՏԵՐԻ ՀԱՄԱՐ

Ս. աք վայուփ ու աք

Առաջարկվում է և երկարությամբ գրույթային \ Հաջորդականության սինքերի մեթող։ Հաջորդականությունը նախատեսված է պոտենդիալ ղեկավարմամբ հիշողություն պարունակող ընդհատ սարչավորումներում բաղմության ուրվացձերը պահանջվող վիճակին բերելու համար, անկախ նախնական վիճակից։ Մեթողը հիմնվում է ուրվագծերի բերման պուգահեռ հաշորդական բկրզբունթի վրա՝ օգտագործելով հնարավոր տարբերակների նպատակային ոնա-

ЛИТЕРАТУРА

- Карибский В. В. Об установке элементов памяти в заданные состояния и обнаружения неисправности в дискретных устройствах. Техническая диагностина. //
 Тр. 1 Всесоюзного совещания по технической диагностике.—М.: Наука 1972.—
 С. 218—223.
- Карибский В. В. О методе «существенных» путен для дискретных устроиста с обратными валями № Антоматика и телемеханика. 1973 —№ 8.—С. 126—137.
- Казначесь В. И. Диагностика неисправностей инфровых автоматов.—М.: Сов. радво, 1975.—255 с.
- Арутюван Э. С., Мурадханан А. А. Метод синтеза контролирующих тестов для дискретных устройсто с вамитью // Вопросы радисэлектроники. Сер. ЭВТ — 1981.—Вып. 16—С. 62—69

Hau All Aps(CCP (eep. TH), τ. XIII, № 5, 1988

СИСТЕМЫ УПРАВЛЕНИЯ

Г. Б. МУРАДЯН

ОБ ОДНОМ ПОДХОДЕ К ОПРЕДЕЛЕНИЮ ЦЕЛЕСООБРАЗНОГО ИНТЕГРАЦИИ АВТОНОМИБЫХ АСУ

Одним из направлений повышения эффективности автоматизированных систем управления является интеграция автономно функционирующих АСУ-создание интегрированных автоматизированных систем управления (ПАСУ) и целостных многофункциональных систем. При втом интегрирование автоматизированиях систем не может рассматриваться как нель, поскольку сло является лишь средством, позволяющим в определенных случаях повыенть совокунямю эффективность интегрируемых систем. Более высокая эффективность НАСУ достигается за счет создания общих баз данных, поздоляющих исключение дублирования виформации, рациональное использование вычислительной техники и применение наиболее подходящих СУБД. Наличие обинокаторо общенить продоставляющий обисов не полько информационное обеспечение систем, интегрированных в рамках ИАСУ, но и решение задач, которые в рамках отдельных АСУ не могут быть решены. Количество задач и частота их решения существе ило важны для эффективности функиновирования ИАСУ

Другим направлением повышения эффективности ACN, которому уделяется больное внимание в связи с интенсивным развитием средств излой вычислительной техники, является создание локальных автономных ACN на базе автоматизированных рабочих мест (APM). Удобство доступа и эксплуатации таких систем, их гибкость, невысокая стоимость вычислительной техники, некритичность к условиям эксплуатации телакот подобные системы достато ню эффективными.

Таким образом, при планировании разработки ИАСУ встает задача нахождения оптимального сочетания интегрированных и автономных АСУ при одновременном определении состава интегрируемых АСУ.

Постановка задачи. Имеются n (i=1,2,...,n) автономно функционированирующих ACV. Объем информации, требуемый для функционирования каждой системы, равен D. Известна информационная совместимость систем, под которой подразумевается наличие в каждой системе информации, которая содержится по меньшей мере в одной из остальных систем. Сказанное можно представить в виде квадратной матрины $A = \|a_{ij}\|$ размерности n, элементы которой a_{ij} характеризуют степень информационной совместимости систем i и j и гескогу их информационной связи. Матрица является симметричной относительно главной диагонали, а диагональные величины a_{ij} характеризуют степень информационной «самообеспеченности» систем. В рамках каждой системы i решаются p=1,2,... P_{ij} задач с частотой h_{ij} .

Обозначим через a_{ij} коэффициент, определяющий часть информации a_{ij} , необходимой системе i для решения задачи p. Соответствующий объем информации равен a_{ij} — a_{ij} поскольку — 1.

Средневовещениая частота функционирования системы і равна

$$\hat{a}_{T} = \frac{\sum\limits_{j=1}^{P_{T}} h_{1j} \sum\limits_{j=1}^{n} s_{ijj} \, a_{ij}}{\sum\limits_{j=1}^{n} a_{ij} \sum\limits_{j=1}^{p_{T}} s_{ijj}} \; .$$

С учетом изложенного получим несимметричную матрицу $B = \|a_i h_i\| = \|b_{ij}\|$ характеризующую интенсипности информационных связей систем i и j, которые по сути отражают функциональные связи систем. Оченидно, что $\sum_{j=1}^{n} b_{i,j} = \sum_{j=1}^{n}$

Задачу можно сформулировать следующим образом имеющееся множество из п автономных систем, интенсивность заавмосвязей которых задана матриней В, требуется разбить на нодмножества интегрируемых систем таким образом, чтобы это разбиение было оптимальным в соответствии с принятым критерием.

Принимаем, что число систем, включенных в подмножество, г. е. в ИАСУ, $\sum_{k=1}^{K} n_k$ сде $k=1,2,\ldots,K$ число ИАСУ, $\sum_{k=1}^{K} n_k = n_k$. В частном случае, когда m=1, рассматриваемая система остается автономной. Естественно ИАСУ формировать таким образом, чтобы внутри них достигалась максимальная интенсивность взаимосвязей между интегрируемыми системами, или, это то же самое, минимальная интенсивность вза мосвязей между ИАСУ. Критерай эффективности в таком случае будет туеть ини $\{1,2\}$

$$S = \sum_{k=1}^{k} \sum_{l=l_{2k}}^{l_{2l}} \sum_{l=l_{2k}} B_{i,l} \longrightarrow \max$$
 (1)

$$S' = \left[\sum_{i=1}^{n} \sum_{j=1}^{n} b_{ij} - \sum_{k=1}^{K} \sum_{l=l_{k_1}}^{l_{k_2}} \sum_{j=l_{k_1}}^{l_{k_2}} b_{ij} \right] \longrightarrow \min,$$
 (2)

гле 1_к и 1.— текущие значения соответственно вижней и верхней границ k-той ИАСУ.

Особенностью диагональных величин матрины b_a является то, что они характеризуют уровень функциональной независимости систем и определяют степень целесообразности их автономного функционирования или включения в состав НАСУ [2, 3]. Это условие можно учесть, наложив на (1) и (2) следующие ограничения:

при
$$n_s > 1$$
, b_n (); при $n_k = 1$, $b_n = b_n$.

Приведенный критерий позволяет формировать ИАСУ функционально максимально автономные. Это достигается нутем всевозможных перестановом элементов из одного подмножества в другое с одновременным изменением, если это необходимо, в пределах даданных ограничений самих грании ИАСУ, Интеграция систем, как было отмечено, позволяет устранять избыточную информацию.

Суммарная информация всех автономных систем равна

$$D = \sum_{l=1}^{n} D_{l} = \sum_{j=1}^{n} \sum_{j=1}^{n} a_{ij}$$

а информация к-той ИАСУ-

$$D_{s} = \sum_{i=1}^{n} a_{II} = 0.5 \left[\sum_{i=1}^{n} \sum_{k_{i}} a_{ii} - \sum_{i=1}^{l_{k_{i}}} a_{Ii} \right] =$$

Избыточная информация k—той НАСУ—

$$D_{\text{mod}, K} = 0.5 \left[\sum_{l=l_{k_1}}^{l_{k_2}} \sum_{j=l_{k_1}}^{l_{k_3}} a_{ij} + \sum_{l=l_{k_1}}^{l_{k_2}} a_{ji} \right],$$

а суммарная информация всех ИАСУ

$$D_{11} = \sum_{i=1}^{n} \sum_{j=1}^{n} a_{ij} - 0.5 \left[\sum_{k=1}^{K} \sum_{l=1}^{l_{k}} \sum_{j=l_{k}}^{l_{k}} a_{ijk} - \sum_{k=1}^{K} \sum_{j=l_{k}}^{l_{k}} a_{ijk} \right].$$

Суммарная пабыточная пиформация:

$$D_{\text{max}} = 0.5 \left[\sum_{k=1}^{K} \sum_{i=l_{k_{i}}}^{l_{k_{i}}} \sum_{j=l_{k_{i}}}^{l_{k_{i}}} a_{ijk} - \sum_{k=1}^{K} \sum_{i=l_{k_{i}}}^{l_{k_{i}}} a_{ilk} \right].$$

При полной интеграции всех n систем, т. е. при $K=1,\ l_k=1$ и $l_k=n$ имеем

$$D_{H} = \sum_{i=1}^{n} \sum_{j=1}^{n} a_{ij} + 0.5 \left[\sum_{i=1}^{n} \sum_{j=1}^{n} a_{ti} + \sum_{i=1}^{n} a_{ij} \right] + D_{a_{ti}} = 0.5 \left[\sum_{i=1}^{n} \sum_{j=1}^{n} a_{tj} - \sum_{i=1}^{n} a_{ij} \right].$$

Очевидно, в данном случие $D_{\mathbf{n},\mathbf{d}}$ максимальна.

Решение, наиденное по (1) или (2), нельзя принять как окончательное, поскольку здесь не учтены технические средства, предполагаемые к применению, и СУБД. Следует рассмотреть несколько решений, соотнетствующих различным наперед задаваемым значениям К. для каждого из них провести неформальный виализ и сравнение альтериативных яычислительных средств и СУБД и принять окончательное решение в пользу того или иного варианта интеграции систем.

1 рИППИ АСУТ

2. X 1986

2. B. Uniprussita

Խաբոնվար ԿԱՀ-ԵՐԻ ԻՆՏԵԳՐԱՑՄԱՆ ՆՊԱՏԱԿԱՀԱՐՄԱՐ ՄԱԿԱՐԻԱԿԸ ՈՐՈՇԵԼՈՒ ՄԻ ՄՈՏԵՑՄԱՆ ՄԱՍԻՆ

հիտարիվում է հնրատվար զործող առանձին Համակարդեր Համակա<mark>րման</mark> միջոցով ինտեղը օրյած կառավարդան ավառմատ Համակարդերի ստեղ<mark>ծման</mark> խոսիրը

եռուջուրկվում է ինահղրվող ամակարգերի առավել նպատակաշար<mark>մար</mark> կացմը որոշելու խնդրի լածման մի հայակ։

ЛИТЕРАТУРА

- Абрантис Л. Б. Алгоряты для определения максимально связанных наборов элементов // Автоматика и выпислительная технака. −1970.—№ 5 —С. 18—24.
- Решение залячи оптимизации оргструктуры ППП при дополнительных ограниченивациях / Ю. В. Чиси, А. М. Мелкумян, С. В. — рипонян, Г. В. Мурадян // Пп. АП АрмССР, Сер. ТП—1978.—Т. ХХХІ, № 3.—С. 34—38.
- э. Мупасин Г. Б., Абрамян Г. М. К попросу о выборе критерия эффективности организационной структуры ППП // Автоматизированные системы ильнирования и управления: Материалы замянара совещания по теоретическам и прикладным вопросам построения аптоматизированных систем управления (Цахкалзор, февраль-март 1977 г.) — Ереван: Абастан, 1979.—4.2.—С. 351—354.

ВЫЧИСЛИТЕЛЬНАЯ ТЕХНИКА

А. В МАРКАРЯН

МОДИФИКАЦИЯ КОДОВ БОУЗА-ЧОУДХУРИ-ХОКВИНГЕМА

Рассмотрена разработка кодов с конструктивным расстоянием $\alpha=5$, позволяющих построить колек по модульной структуре в эффектавно использовать существующие разработки БИС кодеков на основе кодов Хэмминга с d=3 [1] для исправления двойных опибок (ДО).

Необходимым и достаточным требованием достижения цели является выбор таких кодов, подматрины в матриле H контроля четности которых совпадают с H кодов Хэмминга. В этих условиях среди известных наиболее целесообразно использование колов Боуза-Чоудхури-Хоквингема (БЧХ) с d=5, которые являются расширением кодов Хэмминга на случай ясправления многократных ошибок и привадлежат с точки эрения корректирующей способности и информационной избыточности к наилучшему классу кодон [2].

Ниже анализируется структура H кодов БЧХ с d=5 с учетом указанного требования и доказывается, что это требование выполняется не для всех длин n кодов. На этой основе предлагается модификация кодов БЧХ (МБЧХ) с d=5 и показывается, что цель достигается только за счет несущественного ухудшения корректирующей способности.

Матрица Н кодов БЧХ может быть реализована и представлена в наиболее близкой к Н кодов Хэмминга форме [2]

где α^i — примитивный элемент поля Галуа $GF(2^i)$ по молулю веприводимого примитивного многочлена степени r: $r = \log_*(n-1)$; $n = -2^i-1$; i = 0 + (n-1); значения t и 3t берутся по $\operatorname{mod} n$; число m информационных разрядов определяется как m = n + 2r, а разрядность синдрома S равна 2r; $\alpha^n = 1$; H имеет размеры 2r - n. Подматрица $H_1 = \begin{bmatrix} 1 & 2^1 & \alpha^2 & \dots & 2^n \end{bmatrix}$ совнадают с H кодов Хемминга для любых n, поскольку — является примитивным элементом $GF(2^i)$, а подматрица $H = \begin{bmatrix} 1 & \dots & 2^m & \dots & 2^m \end{bmatrix}$ не совнадает с H кодов Хэмминга в случае $n \leftarrow 0 \mod 3$ (n, кратных n0, поскольку — не является примитивным элементом $GF(2^i)$ [2]. Отсюда следует, что в общем случае коды n1 не удовлетнориют указанному требованию совнадения n1.

Определим коды, подматрины которых совпалают с H кодов X_{SM} минга. Представим H в виде

$$E' = \begin{bmatrix} \frac{1}{2} & \frac{1}{2} & \dots & \frac{1}{2} & \dots & \frac{1}{2} \\ f(0) & f(1) & f(2) & \dots & f(n-1) \end{bmatrix}.$$
 (2)

тде f(i) некоторая функция от i. Указанное гребование предлагается удовлетворить выбором f(i) так, чтобы любой элемент a' имел свое "отражение" в f(i), τ . е. чтобы в ll' существовали такие $t_1 \neq t_2 \in I$, для которых выполняется $a^{ij} = f(i_2)$. Такое отражение в отличие от ll(1), где выбрано $f(i) = a^{3l}$, можно обеспечить с учетом $a^{-l} = a^{3l-l}$ и выбором $f(i) = a^{-l}$.

Докажем теорему о корректирующей способности кодов, для которых $f(l) = \alpha^{-1}$. Предложенные в результате коды назовем кодами МБЧХ, учитывая, что значения H_1 для МБЧХ и БЧХ кодов совпадают.

Теорема. Двоичные коды МБЧХ с матрицей

$$H = \begin{bmatrix} 1 & \alpha^{1} & \alpha^{2} & \dots & \alpha^{l} & \dots & \alpha^{(n-1)} \\ 1 & \alpha^{-1} & \alpha^{-2} & \dots & \alpha^{-l} & \dots & \alpha^{-(n-1)} \end{bmatrix}$$
(3)

исправляют для $n=0 \mod 3$ все n одиночных ошибок (00) и все сочетания $\binom{n}{2}$ ДО, а для $n=0 \mod 3$ — все 00 и $\binom{n}{2}-n$ ДО.

 \mathcal{A} о к а з а т е λ в с τ в о. Коды МБЧХ исправляют все 00 независимо от n, т. к. H_1 совнадает с H колов Хэмминга.

В случае ДО, обозначив для H(3) соответствению номера первой и второй ошибок через α^{I_1} и α^{I_2} с учетом $f(i) = \alpha^{-1}$ верка следующая система уравлении:

$$\begin{cases} a^{a_{1}} + a^{a_{2}} = S_{1}; \\ a^{-a_{1}} + a^{-a_{2}} = S_{-1}, \end{cases}$$
(4)

где $S = [S_1 \ S_{-1}].$

Система (4) является системой из двух независимых уравнений, т. к. $S_{-1}(\alpha'+\alpha')$ з и $\alpha'=S_1$ S_{-1} . Следовательно, по H(3) можно отличить значения $S_{-1}[S_1]$ всех $\binom{n}{2}$ ДО. Однако представляется возможным случай, когда $S_1=S_2$, что также выполняется в случае ОО. Тогда кодек не сможет отличить ОО от ДО. Определим в каких случаях выполняется $S_1^{-1}=S_1$ если имеет место ДО. С этой целью преобразуем систему (4) к виду

$$1 \stackrel{a^{k_1}}{=} \stackrel{\text{def}}{=} S_{i}$$

$$1 \stackrel{\text{def}}{=} 1 S_{i}.$$

$$(5)$$

Откуда $S_1 = a^{i_1} = (a_1 + a^{i_2})$ и после подстановки в это уравнение значения $a^{i_1} = S_1 + a^{i_2}$ из верхиего уравнения системы (5) получим $(a^{i_1})^2 = S_1 a^{i_2} + S_2^2 = 0$. Разделия все члены последнего уравнения на S_1

$$(x^{i} | S_{i})^{2} | (x^{i} | S_{i}) | \vdash ! = 0.$$
 (6)

Нетрудно показать, что в GF(2') кориями $X^2 + X + 1 = 0$ являются $X^{(2r-1)/3}$ и 1 X, если (r-1) делится на 3, а в противном случае — $X^2 + X + 1 \neq 0$. Приняв $X = \alpha^h S_1$, следует, что равенство (6) выполняется, т. е. $S^{-1} = S_{-1}$ только н случаях, когда $\alpha^h S_1 = \alpha^{-nS}$ и $n = 0 \mod 3$, а учитывая, что S_1 по H(3) может принимать максимум n значений — для $n = 0 \mod 3$ из возможных $\binom{n}{2}$ сочетаний существует n сочетаний пары $(i_1 i_2)$, для которых $S^{-1} = S_1$. Откуда и вытекает доказательство теоремы.

Поскольку размеры H (1) и H (3) совпадают, то коды МБЧХ характеризуются такой же избыточностью, что и коды БЧХ

Докажем, что корректирующая способность кодов МБЧХ несущественно хуже, чем кодов БЧХ. Вероятность $P_{\rm m}$ исправления ДО, равная отношению числа исправляемых ДО к возможному, для любых n кодов БЧХ равна 1. Из приведенной теоремы вытекает, что для кодов МБЧХ

$$P_{n0} = \begin{cases} 1, & \text{ecan } n \neq 0 \text{ mod } 3, \\ \binom{n}{2} - n / \binom{n}{2} = (n-1) / (n-3), & \text{ecan } n = 0 \text{ mod } 3, \end{cases}$$

т. е. с возраставнем n значение $P_{\rm по}$ стремится к 1. Так, при $18 \leqslant \leqslant n \leqslant 31$ значение $P_{\rm по} = 1$ и практически для всех n = 63 также можно принять $P_{\rm по} \cong 1$. Исключая случай $n \leqslant 8$, не представляющий практического интереса, минимальное $P_{\rm no} = 0.95$ получается при n = 32, которое, очевидно можно считать несущественно женьшим относительно $P_{\rm no} = 1$.

В заключение отметим, что предложенные коды МБЧХ позволяют без потерь на проектирование и освоение новых модификаций БНС эффективно использовать существующие разработки БНС кодеков на основе кодов Хэмминга для исправления ДО—цель достигается голько за счет несущественного ухудинения корректирующей способности кодов МБЧХ по сравнению с наилучиним в этом отношении кодами БЧХ с d=5.

E0HIBIMM

10. VII 1986

ս, Վ. ՄԱՐԴԱՐՑԱՆ

<mark>ՔՈՈՒ</mark>Զ-ՉՈՈՒԳՀՈՒՐԻ-ՀՈՒՎԻՆԳԵՄԻ ԿՈԳԵՐԻ ՉԽԼԱՓՈԽՈՒԹՑՈՒՆՎ

P92-ի կողերը վերլուծվում են կրկնակի սիւալներն ուղղող կողեկի կաառցման տեսանկյունով Հեժինգի կողերի՝ ներկայումս գոյություն ունեցող PPU կողեկների մշակումների օգտուղործմամբ։ Ցույց է տրվում, որ այդպիսի իրազործումը նպատականարմար է միայն 3-ի բաժանվող և երկարության կողերի համար։ Առաջարկվում է Ք92-ի կողերի մի ձնափոխություն, որը ժնարավորություն է տալիս 2-ի ցանկացած արժերների դեպքում կրկնակի սրալներն ուղղելու համար արդյունավետ օգտագործել դոյություն ունեցող Քիև կողեկները։ Ցույց է տրվում, որ Համեմատած Ք92-ի կողերի հետ նպատակին կարելի է հասնել ընդամենը ուղղող հատկությունների ոչ էական վատարժան հաշվին։

RHIEPATYPA

1 Борисов В. С. Обнаружение и исправление оцибок и запоминающих устройствах // Зарубежиза радиоздектроника —1984 — 10.—С. 21—14

2 Михобильске Ф. Л. Слоэн Н. Дж. Теория кодон, вепроздяющих онибку —М.: Сандь, 1979. 741 с.

Ifta All ApмССР (сер ТН), т. XLI, № 5, 1988

ГИДРАВЛИКА

А А МИХНЮК, В Б. ЦАГРЯН, Т Д ГОЦЕРИДЗЕ

НЕЛИНЕППЫЕ ВЗАПМОДЕПСТВИЯ ВОЛН ПРИ ЛАБОРАТОРНОМ МОЦЕЛИРОВАНИИ НЕРЕГУЛЯРНОГО ВОЛНЕНИЯ

Моделирование воли больших водоемов с помощью создания регулярных воли на моделе не позволяет с точностью воспроизвести их воздействие на береговые участки. В настоящее время осуществляется постепенный переход к воспроизведению реального или близкого к сему перегулярного волнения. Наиболее перспективным направлением развития методов генерации нерегулярного волнения считается введение в системы управления волновоспроизводящими установками ЭВМ, работающих в реальном режиме времени [1]. При этом предусматривается как прямое воспроизведение нерегулярного волнения с натурной записи с использованием встроенных или программно заданных передаточных функций типа функции Базеля, так и синтез управляющего воздействия с использованием обратного преобразования Фурье или методов цифровой фильтрации [2].

В работе приводятся результаты изучения взаимодействия воли различных частот, при которых происходит искажение высокочастотной области спектра перегулярного волиения. Эти искажения существенно влияют на фазовые скорости данной области спектра.

Рассмотрим влаимодействие двух гармоник спектра, которые значительно отличаются по частоте и по полновому числу. Такое взаимодействие можно рассматривать по типу «волна на течении». Исходя из уравнения аднабатического приближения, записанного в системе координат, движущейся с фазовой скоростло длиний волны С, в первом приблажения по малому параметру U (U-орбитальная екорость ілинной волям) можно получить

$$k = k_0 (1 + U/C), \quad a = a_0 (1 + U/C),$$
 (1)

тде k—волновое число короткой волны; a— амилитуда короткой волны; k, a_0 —средние за период длиниой волны параметры короткой волны.

Тогда частота короткой волны, наблюдаемая в неподвижной системе координат, имеет выд

$$\omega = \omega_0 + k U, \tag{2}$$

где во-средняя за период даниной возны частота короткой возны.

Таким образом, имеет место амплитудная (1) и частотная модуляция (2) параметров короткой волны и поле горизонтальных орбитальных скоростей длинной волны. Легко показать, что наличие частотной модуляции приводит в появлению в спектре короткой волны дополнительных гармоник на частотах $\omega + N\Omega$ (Ω --частота длинной волны, N—делое число), причем амплитуды этих гармоник полностью определяются параметром частотной модуляции $\beta = k \cdot U \cdot \Omega$ [3]. Также вструдно показать, что амплитудная модуляция полностью определяется параметром $\gamma = U_0/C$ и таки две дополнительных гармоники в спектре на настотах $\omega \pm \Omega$ [3]. Здесь U_0 —амплитуда горизонтальной орбитальной скорости длинной волны.

Рассмотрим параметры частотной и амил пулной модуляции одельно для глубокой и мелкой воды относительно длинных воли, предполагая, что для коротких воли влиянием дна можно преисбречь

$$\beta = k_0 \frac{AgR}{\Omega^2} \begin{cases} k_0 A & -$$
 для глубокой воды, $k_0 \frac{A}{d} -$ для мелкой воды, $k_0 \frac{A}{d} -$ для глубокой воды, $k_0 \frac{A}{d} -$ для мелкой воды,
$$\gamma = \frac{U}{C} = \begin{cases} kA & -$$
 для мелкой воды,
$$\frac{A}{d} -$$
 для мелкой воды,

где A-амплитуда длинной волиы; k-волиовое число длинпой волиы; $\alpha-$ глубина воды.

Из (3) следует, что параметр амалитудной модуляции в обоих случаях мал и, следовательно, ими можно пронебречь Параметр чаразменно растет

$$\beta = \frac{k_u}{k} \frac{A}{d} = \frac{k_u A}{\Omega} \sqrt{\frac{E}{d}}.$$
 (4)

В спектре короткой в ним присутствуют все частоты из днаназона: ($\mathbf{w}_0 = k_0 U_0$, $\mathbf{w}_0 = 0$) и, следовательно, ширина предельного спектра оценивается формулой

$$\Delta m = 2k_0 U_1 = 2\beta \Omega = 2k_0 A \left\{ -\frac{R}{d} \right\}$$
 (5)

В рамках задачи корректного моделирования спектра нерегулярных воли представляет интерес экспериментальное изучение взаимодействия различных частот. Эксперименты проводились с использованием программию управляемой волнопроизводящей установки на базе информационно-вычислительного комплекса НВК-3 и волнопродуктора с электрогидравлическим приводом...

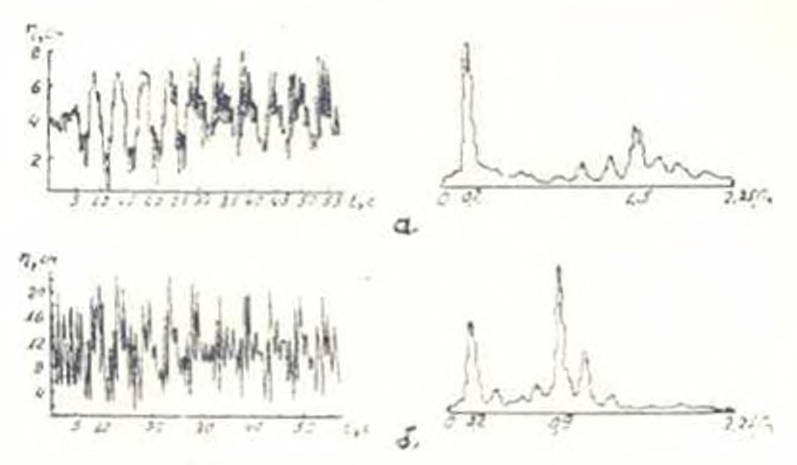


Рис. 1 Взаимоденствие дананых и коротких воян ат двинная — 0,2 Iu; короткая — 1,5 Iu; б) даниная — 0.2 Iu, короткая — 1,5 Iu;

На рис 1 а, 6 представлены реализации и спектры втаимодействия воли е сильно отличающимися частотами и волновыми числами. Их анализ дает основания полагать, что взаимодействия длинимх и коротких воли по типу «волна на течения» действительно приводят к значительному искажению спектра коротких воли полем горизонтальных орбитальных скоростей ланией волны. Гармоники, возникающие при взаимодействии длинимх и коротких воли, удоалетворяют соотношению — УО, причем достаточно сильно выраженные третьи и четвертые гармоники, спектра коротких воли свидетельствуют о том, что доминирующим фактором в формирования подобного спектра является именно частотная модуляция, поскольку амилитудная модуляция может давать только лишь две дополнительные спектральные компоненты на частотах

На рис 2 а, б представлены результать взаимодействия воли, частоты которых отличаются незначительно. В этом случае взаимодействие уже нельзя рассматривать как волну на течении в аднабатическом приближения. Однако, иля этого случая взаимодействия также имеет место инявления дополнительных гармоник, но уже на других частотах, которые можно охарактеризовать формулой $\Omega+N$ ($\omega-\Omega$). Появление этих гармоник связано е нарушением аднабатического характера изменения стибающей супперпозиции взаимодействующих гармоник. Частота этой сгибающей равит $\omega-\Omega$, в форма высокочастной области епектра втаимодействующих гармоник напоминает форму спектра перегулярных воли. Таким образом, для перегулярного полнения

консчной амилитуды имеет место нелинейное взаимодействие гармочик, которое можно подразделить на две группы:

- —взаимодействие длинных и коротких воли с появлением гармоник на частотах 10 которое и первом приближении может быть описано с помощью уравнений аднабатического изменения волны на течении:
- взанмодействие близких гармоник типа неаднабатического измения огибающей с образованием гармоник на частотах $\Omega + \Lambda$ ($\omega \Omega$).

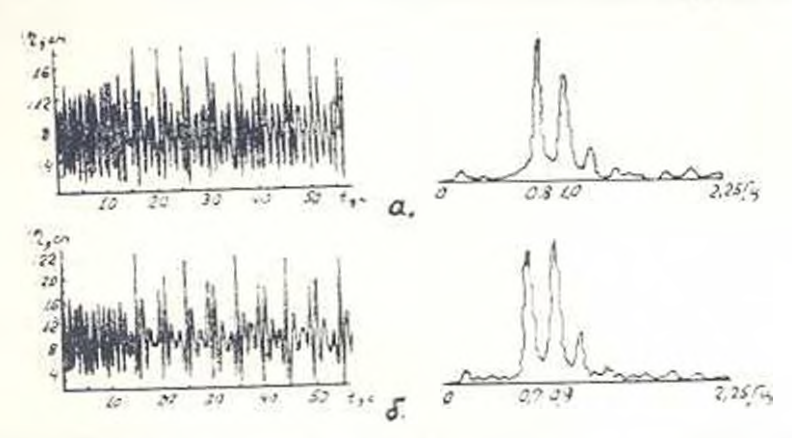


Рис. 2. Взаимодействие поли близких частот; а) 0.8 и 1 Ги; б) 0.7 и 0.9 Ги.

Оба типа взаимодействия проявляются сильнее с ростом амплитуды взаимодействующих воли. Взаимодействие перного типа оказывается сильнее, если для дланной волны марактерно приближение мелкой воды, а второго типа формирует высокочастотную область спектра, близкую к натурному волнению. Оба типа взаимодействия могут быть привлечены для объяскения особенностей измерения фазовых скоростей высокочастотной области спектра реального нерегулярного волиения.

Учет такого рода нелинейных искажений спектра приведет к необходимости отказаться от спектрального представления нерегулярного волнения при его воспроизведении в лабораторных условиях и перейти к моделированию заланной реализации нерегулярного волнения.

АрмНИПВПаГ 20 XII. 1986

и. и прыхварь, д. р. пиврвил, в. г. чабоград

ԱԼԻՔՆԵՐԻ ՈՉ ԳԾԱՅԻՆ ՓՈՒԱԶԳԵՑՈՒԹՅՈՒԾՅՈՒՄ ԶԻՎԵԱՆՈՆ ԱԼԵԿՈԾՄԱՆ ԵՐՈՒՄԱՏՈՐ ՄՈՐԵԼԱՎՈՐՄԱՆ ԳԵՊԳՈՒՄ

De d'apartence d

Դիտվում են տարրեր Հանախականություններով ալիբների ոչ գծային փոխազդիցությունների փորձնական և տեսական հետազոտությունների արդյունբև ները, որոնց դեպօում տոաջ է դալիս սպեկտրի շեղում։ Նման շեղումները պետք է հայվի առնվեն սպեկարալ ըսութագրերով բնականին մոտ անկանոն ալեկոծման լաբորատոր մողելավորման ժամանակ։ Անկանոն ալեկոծումով փորձերի կատարումը թույլ է տալիս ավելի հիշտ կանիստեսել ջրամբարևերի ափերի ձևափոխումը իրական ալիջային ազդեցություններից։

JHTEPATYPA

- Plong Funke E. R. A Survey of Random Wave Generation Techniques // Proc. 17 th Coast Eng. Conf. Sudney 23 28 March 1980. New York, 1981. - V. 1. - P. 135 - 1 3.
- 2. Peyer D. K., Gilbert J., Wilklie M. J. A. Wave Spectrum. Synthesiser if Journal of Hydravlic Research, Delft, 1973, -11, 3. P. 58 ...66.
- 3 Хиркеточ Л. А. Спектры и миллич -- М. Эпертия, 1957 -- 236 с.

Him All ApaCCP (cep. 1H), r. XLI, Nr. 5, 1988.

НАУЧНОЕ ПРИБОРОСТРОЕНИЕ

Л Г КАРАПЕТЯН

ОПРЕДЕЛЕНИЕ ОТНОШЕНИЯ ШУМ-СИГНАЛ В МАТРИЧНЫХ ФОТОПРИЕМНИКАХ НА ПРИБОРАХ С ЗАРЯЛОВОЙ СВЯЗЬЮ

При конструирова ни телевизновной измерительной аппаратуры проивляются преимущества матричных фотоприемников на приборах с зарядовой связью (ПЗС) перед вакуумными формирователями изображения [1]. Однако присушие ПЗС физические отраничения [2] приводят к определениям затрудисниям при проектировании измерительных систем. Так, для повышения точности измерения хоординат точечных объектов применяются станальные алгоритмы обработки видеосигнала [3, 4], эффективность к горых зависит от ряза параметров ПЗС К одному из основных параметров от тосится шум, возникающий в процессе формирования изображения и вытеклющее из него отношение шум-сигиал (ш с) в фотоприемнике.

В данной статье приведен спосто, позволяющий определить отношение ш/с в матричных фотоприемниках на ПЗС Координаты неитра тяжести изображения в системе координат ПЗС матрины можно оценить по формулам

$$\widetilde{x} = \frac{\sum_{ij} U_{ij} x_{ij}}{\sum_{ij} U_{ij}} \cdot \widetilde{y} = \frac{\sum_{ij} U_{ij} \widetilde{x}_{ij}}{\sum_{ij} U_{ij}} \cdot \tag{1}$$

где $U_H=$ экергии, зафиксированные в кал дом элементе разрешения; $x_H,\;y_H=$ коор**д**инаты элемента разложения.

Среднеквалратическая погрешность определения координат m^2 и определяется дифференцированием выражения (1) по U_{ij} , и у y_{ij} [5].

$$m_{\widetilde{x}}^{2} = \sum_{ij} (x_{ij} - \widetilde{x})^{2} \frac{m_{ij}^{2}}{\left(\sum_{ij} U_{ij}\right)^{2}} + \frac{\sum_{ij} U_{ij}^{2}}{\left(\sum_{ij} U_{ij}\right)^{2}} m_{\lambda}^{2}, \tag{2}$$

$$m_{\widetilde{y}}^{2} = \sum_{ij} (y_{ij} - \widetilde{y})^{2} \frac{m_{ij}^{2}}{\left(\sum_{ij} U_{ij}\right)^{2}} + \frac{\sum_{ij} U_{ij}^{2}}{\left(\sum_{ij} U_{ij}\right)^{2}} m_{y}^{2}, \tag{3}$$

где $\frac{m_0}{\sum U_{ij}}$ — отношение шум-сигнал: m_1 и m_2 — неопределенность,

вносимая элементом разложения матрицы по осям X и Y.

Так как в уравнениях (2) и (3) отношение ш с входит в одинаковом виде, то достаточно рассмотреть одно из них. Приняв, что на светочувствительную поверхность матрицы проецируется изображение точки с нормальным распределением эпергии, и подставив $x=x_0$, где x_0 — геометрический центр изображения, из уравнения (2) имеем

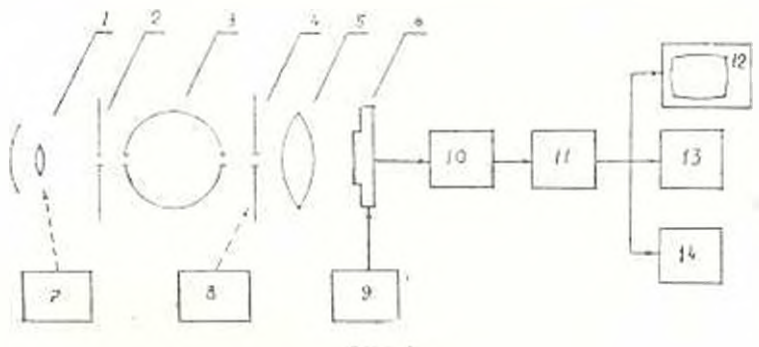
$$= \left[\begin{array}{c|c} \frac{m_{i}}{\sum_{i} U_{ij}} \\ m_{i}^{2} - m_{x}^{2} \sum_{i} \left\{ \frac{1}{r \sqrt{\pi}} \int_{x_{i}-1/2}^{x_{i}+1/2} \exp\left[-\left(\frac{x-x_{0}}{r}\right)^{2} \mid dx\right]^{2} \\ - \frac{\sum_{ij} (x_{ij}-x_{0})^{2}}{\sum_{ij} (x_{ij}-x_{0})^{2}} \right] \right]^{1/2}. \quad (4)$$

Задаваясь размером изображения ($n \times n$) и приняв $r = \frac{1}{6} n$, нетрудно рассчитать значения

$$\sum_{t} \left\{ \frac{1}{rV^{\frac{-\pi}{n}}} \int\limits_{x_{T}-1/2}^{x_{T}+1/2} \exp \left[-\left(\frac{x-x_{0}}{r}\right)^{2} \right] dx \right\}^{2} \text{ if } \sum_{ij} (x_{ij}-x_{0})^{2}.$$

Для определения отношения ш с в (4) остается неизвестной лишь неличина m_{χ}^2 . На рис. 1 приведена схема установки, на которой определялась среднеквадратическая ошибка определения координат. Световой поток от осветителя 1 через днафрагму 2 попадает в светометрический шар 3. На выходе светометрического шара образуется рассеянный свет, который, проходя через текст 4, проецируется объективом 5 на светочувствительную поверхность ПЗС — матрицы 6.

Тест представляет собой затемненную стеклянную пластину с окном определенной формы и размера. Он закреплен на двухкоординатной каретке 8, которая снабжена микрометрическими винтами и дает возможность перемещения изображения по светочувствительной поверхности ПЗС. Блок 7 позволяет регулировать интенсивность изображения. Блок управления ПЗС 9 генерирует последовательности импульсов, исобходимых для накопления, хранения и считывания видеосигнала, который перез видеоусилитель 10 и схему двойной коррелированной выборки 11 подается на ВКУ 12 и осциллограф 13 для визуального контроля за изображением и на блох определения координат центра тяжести изображения 14.



PHC. 1.

Выставив изображение теста на накоторую область светочувствительной чвети ПЗС-матрины, изменяя и фиксируя его положение параллельно оси У, с помощью блока 14 определяются координаты x_{1j} неитра тяжести изображения в кажл м фиксированном положении. Затем произволится сдвис изображения по оси X и вновь определяются координаты центра тяжести изображения x_{1j} для второго столбца и т. д. Размер изображения и сдвис выбираются так, чтобы перекрыть по возможности большую часть чувствительной области матрицы. На рис. 2 показана трасктории движения изображения по поверхности светочувствительной области ПЗС-матрицы. Крестиками обозначены измеренные значения центров тяжести изображения для пераого столбща—т. Среднеквадратическая погрешность определения координат определения следующим образом:

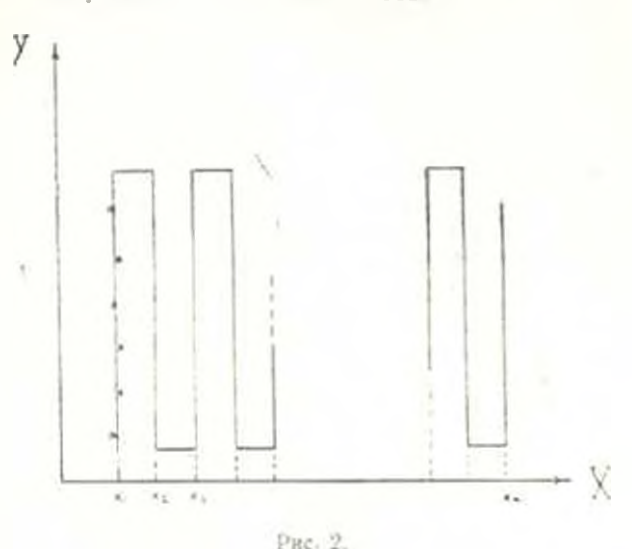
$$m_{\widetilde{x}}^2 = \frac{1}{KL} \sum_{k,l} (\widetilde{x}_k - x_{k+l})$$

где К число столбнов: 🛴 число измерений в кажном столбие:

$$\tilde{x}_k = \frac{1}{L} \sum_{l} x_{k,l^*}$$

Экспериментально отношение ш/с было определено для среднеформатных U3C-матриц тина А 1042. С помощью блока 7 (рис. 1) на выходе светометрического шара устанавливалась освещенность, соответствующая некоторому втношению ш/с, измерялась величина ш и из

выражения (4) рассчитывалось отношение ш с Не паменяя общей элергии, зафиксированной в элементах разложения ПЗС, с помощью расфокусировки наменялся размер изображения на 2—5 элементах разложения, для каждого размера намерялась велич на m_{\perp}^{1} и рассчитывалось отношение ш/с. При этом отношение ш/с для разных размеров изображения практически не изменялось



При измерении величины $(x_k - x_{kl})^2$ в некоторых областях спеточувствительной поверхности матрицы наблюделись не спетонения этой величины от m_{\perp}^2 . Эт обстоятельство заидетельствует о том, что в этих областях матри и имеет больше е значение сометрического шума. Таким образом, по величине $m_{\perp}^2 - (x_k - x_k)^2$ можно судить о степени неоднородности мат

тивности переноса в той от об се областа Измерения проведилесь для нескольких экземпляров матрид При одинаковых условиях и мере отно не те ше для разли ных экземпляров отличались друге таруга на 20—30

20 111 1986

[2. ԿԱՐԱԳԵՏԵԱԿ

Ավարդությունը Հանահարդ հարդարան իրադրան իրադրա ուցությունը։ Ամանության Հանահարդանում Հանադրա

Uddiahnid

Բերվում է լիցրային կապով սարբերով մատրիցային ֆոտորնդունիչների սողմուկ-ազդանշան քարաբերության որոշման ձև. Տիմնված պատկերի կոոր դինատների որոշման միջին բառակուսային սխալի չափմ և վրոս Նկարագրը ված է սարդավորում, որը թույլ է տալիս իրականացնել եղանակը, բերված ձև չափման արդյունընկըը \ 1042 տիպի մատրիցաների համար

ЛИТЕРАТУРА

- Attred Dümlein, Optische Datenertassung mit CCD Kamera II Elektronik, 1982

 25,17, 12, S. 89 92.
- 2. К. Секси, М. Томисе:. Поиберы с перепосом заряды -М Мир. 1978 155 с.
- Phit M. Salomon. Charge-coupled device (CCD) trakers for high-accuracy guidance applications. Optical Engineering. 1951. January (February). V. 20, No. 1. P. 135 142.
- 4 Андреел А. Л. Кузнецов В. И., Вишков В. С. Использование метода колечных разностей при обработке сигнала в телевизновном измерителе координат на ПЗС // Техники средств связи. Сер. Техника телезидения.— 1981 Вып. 6. С. 58—62.
- Математическое обеспечение определения ориентации кА по изображениям завадлого неба / Г. А. Аванесов, Е. П. Алексации, Г. А. Алексацииа и др. // Сол Оптихо-электренные приборы в космических аксии иментах. Пистих т ко мических исследования АН.—М. Наука, 1983.—С. 124—157.

ዩበቂዜъጥԱԿቨኮԹՅብኮՆ

ռությունակություն	
և Ռ. Հավակսյան։ Տարրեր դորժոնների աղդեցության ուսուսնասիրությունը Հային ժանիպուլյատորի շարժիչ ուժերի վրա Ա. Կ. հեշումյան, Գ. Ս. Մաստիսույան, Ռ. Ս. Մաստիսույան։ անգույցի անթ	3
հիկական վիճակի ազդեցուիկունը ժերևնամուսելի տեխնոլոցիական չափոնի։ հերի վրա	2
าสถายแบบรากษาสการ	
B. Ա. Սվետիոյան, Վ. Գ. Գուբաչ, Պ. Յ. Վոչոսեիչ, Օ. Հ. Բկբա-լան։ Պողպատ Հ18HIOT-ի կատուցվածցային փոփոխությունները վատիուկ բեռնավորոնումը ցիկլային դեֆոր- մացման մամանակ	11
Եռելու 15 - 15 - 15 - 15 - 15 - 15 - 15 - 15	
, 100 1 1 V 1 1 1 1 1 1 1 1 1 1 1 1 1 1 1	
II. II Վարդանյան, Ցու. Հ. Վազաբյան, Գ. Գ. Քեջանյան։ Դաղատրանոպորտային մեծ Համակարդերի հոսրաբաժանժան հայվարկի ժեկ Ճեքեոյի ժասին II II Ավակիսով, Գ. Ա. Հայրապետյան, Ռ. Հ. Մայրադրան, Եւեկարավեներդետիկական համակարդերի հակավերությեն ավատժատիկայի հրադորձումը ՄԻՍԻՍԵՀՄ-ի կի	1 /1
հրագրողը	20
ԿԱՌԱՎԱՐՄԱՆ ՀԱՄԱԿԱՐԳԵՐ	
Ա. վ. Փամբովույոն, Լ. Ս. Կաստանյան։ Արրարդ կեղծ ապարժալ դեղավարժան - ժակարդերի հաժաղրումը ու դծային ծուսդրուվորման կիրառմամբ Է. Ս. Հայությունյան, Ա. Ա. Մութադիանչան, Ո. Մ. Բայչյան, Դրույինային հայորդակա- հավիյան տինինդումը փրորգություն պարումակող թեղմատ սարրավորումարի անու	2.1
անրի համար Հ. թ. Մուսադյան, Ինթեավար ԿԱՀ-երի ինտեցրացման նպատակա - ար մակարդակը	28
aparties of development develop	44
Հաշվողանան Տահեժա	
U. d. Vinequering: Fooig-Longing p - Longing to porting standarding from the	3.
21 ૧ ૧માન્યા	
են, Ս, Միխնդուկ Վ. Թ Ռուսույան, Տ. Գ, Գոգեւիզե։ Այրջների ոյ գծային փոխազգնում Թյունները անկանոն ալակոծմեսն լաբորատոր մողնքավորժան գետյրում	3:
ԴԵՏԱԿԱՆ ՍԱՐԲԱՇԻՆՈՒԹՅՈՒՆ	
Լ. Հ. Կաստղետյան։ Լիցթոյին կապով ռաբրերով մատրիցային ֆրոսընդունիրենրում աղ.	4

• МАШИНОСТРОЕНИЕ

 И Р Лжавахян Песледование плиящи различиых факторов на движущие ся- лы наитографного манинулитара А В Хенумян, Г С. Мартиросян, Р. С. Мартиросян. Влияние технического со- 	3
стояния шини тельного уки, на технологические нараметры летали -	7
4	
матерналоведение	
Ю. А Люсгисян, В. Г. Горбич, В. Ю Волосевич. О. А. Мкргчян, Структурные изменения стали X18111ОТ при пиклическом деформировании с мяским пагружением	11
ЭНЕРГЕТИКА	
 А. И. Нартанжи, Ю. 1. Казарян Г. Д. Беджанян, Об одном методе рисчета потокораспределения больших газотранспортных систем. А. С. Авакимов, Г. 1. Айрапетян, Т. П. Асатрян, Р. Д. Мурадян Реализация противоаварийной втоматики электропергетических систем на базе 	11
янкро-ЭВМ	26
СИСТЕМЫ УПРАВЛЕНИЯ	
С. В Памбухчян, Л. С. Костанян Синтез квязионтимодыных систем автомотического управления третьего порядка с применением нелинейного програм-	
мирования : : : Э. С. Аритинян, А. А. Мурадханян, Р. М. Тащиян. Спитез установочной после-	2-1
ловательности для генерации тестов лискретных устройсти с пимятью Г. Б. Мурадии. Об одном подходе к определению целесообразиого уровня ин- теграции загономных АСУ	28
тегранин автономных АСУ , ,	31
вычислительная техника	
А. В. Маркарян. Модификации кадров Боуза-Чоудхури-Хокишигема	35
гидравлика	
.1—1 Михнюк, В Б_ Цитрян Т. Д. Гоцеридзе. Нелинейные изанмодействия воли при лабораторном моделировании нерегулярного колнения	38
плучное приборостроение	
Л. Г. Каралетян Определение атпошения шум сигнал я матричных фотоприем пиках на приборех с эпридовой связью	